

التبؤ بالمستوى الرقمي لرمي الرمح بدلالة متغيرات سرعة أجزاء الجسم ولحظة انطلاق الرمح

* أ. م. د / محمد محمد إبراهيم عبد المادى

- مقدمة ومشكلة البحث :

تعتبر مسابقة رمي الرمح من مسابقات الرمي التي تتميز بأطول مسار حرکي ، وبذلك يمكن للرمح اكتساب عجلة تسارع عالية ، حيث تبلغ سرعة انطلاقه في حدود ٣٠ - ٣٥ م / ث بالنسبة للمستويات الرياضية المتقدمة هذا بالإضافة إلى انفراد الرمح بالرمي بواسطة طريق اقتراب يختلف مسابقات الرمي الأخرى . (٤٩٢ : ٢)

ولتحقيق أبعد مسافة ممكنة لرمي الرمح يتطلب سرعة اقتراب مثالية خلال الجزء الأول ، ومن ثم الحصول على الوضع الأمثل للجسم والرمح في الجزء الثاني (الخطوات الموزونة) ، والتي تكون في نهايتها عملية التحضير للرمي حيث لها علاقة بعملية انطلاق الرمح ، وبالتالي فإن المسافة التي يقطعها الرمح يعتمد على السرعة لحظة الانطلاق .

وهذا نجد أن الرياضي يسعى دائماً إلى إحداث أكبر سرعة انطلاق ممكنة مراعياً بذلك جميع الأسس الميكانيكية لحظة انطلاق الرمح . (١٦) ، (١٢)

ويشير بسطويسي أحد (١٩٩٧م) أن إمكانية اللاعب بالالتزام بالأسس البيوميكانيكية والفنية الخاصة بطريقة وأسلوب الأداء والمتمثلة في إتقان أجزاء الحركة وترابطها بعضها البعض أثناء الأداء الحرکي في مرحلة الاقراب يكون له تأثيراً كبيراً على زيادة السرعة

* أستاذ مساعد بقسم التدريب الرياضي بكلية التربية الرياضية ببور سعيد ، جامعة قناة السويس .

التي يكتسبها كل من اللاعب والأداة ، ومدى إمكانية اللاعب في استخدام أجزاء الجسم المختلفة بانتقال حرکي متزامن سريع من الرجلين إلى المقدمة إلى الخد وحى ذراع الرامى في المرحلة الرئيسية لغزو القدرة الانفجارية الخاصة برمي الرمح . (٤٩٣ : ٢)

ويوضح جمال علاء الدين (٢٠٠٠) أن الخصائص الكينماتيكية تتيح إمكانية مقارنة مقاييس وأبعاد الجسم ووصلاته ، وكذا الخواص الكينماتيكية للحركات المختلفة . (٣ : ١٣)

في حين يضيف سلطويسيي أحمد (١٩٩٦م) أن الانتقال الحرکي خاصية من الخصائص التقوية للحركات التي يجب على المدرب واللاعب معرفتها ، وأن النقل الحرکي هو تأثر حرکي بين مجموعات عضلية وأخرى بغرض تحقيق الهدف المنشود للأداء . (١ : ٢١١)

ويؤكد محمود أبو العينين (١٩٨٩م) أن العاملين في مجال تدريب المهارات الحرکية المرتبطة بالأنشطة الرياضية اهتموا بدراسة العوامل المؤثرة بطريقة مباشرة أو غير مباشرة في الأداء الحرکي سواء كانت بيولوجية ، فسيولوجية ، تشريحية ، ميكانيكية لتجمیع مادة نظرية توضح العلاقات الشديدة ومدى ارتباطها بعضها البعض . (١١ : ٧٩)

ومن أهم العلامات المميزة لتكنيك رمي الرمح هي مدى إمكانية اللاعب بالالتزام بالأسس البيوميكانية والفنية الخاصة بطريقة وأسلوب الأداء والمتضمن في إيقان أجزاء الحركة وترتبطها بعضها البعض وذلك عند الأداء الحرکي في مرحلة الاقتراب وما له من تأثير على زيادة السرعة واكتساب الإيقاع الجيد الموزون في مرحلة الخمس خطوات التوفيقية ، وكذلك مدى إمكانية استخدام أجزاء الجسم المختلفة بانتقال حرکي متزامن سريع من الرجلين إلى المقدمة إلى الخد وحى ذراع الرامى . ويتم ذلك خلال مراحل الأداء الفنى للرمى وهي مسلك الرمح وحمله والاقتراب ، الخمس خطوات التوفيقية ، وضع الرمى ، الرمى ثم التغطية . (٤٩٤ : ٢)

(٧ : ٨٢)

ومن هنا نجد أثناء أداء رمي الراجم يحدث نقل حركي من الجذع إلى ذراع الرمي من خلال عمل عضلات الجذع على بعد مسافة الرمي ، بذلك فإن عمل الذراع وحدة لا يتحقق الأهداف الحركية لرمي الراجم . (٢١٤ : ١)

من خلال ذلك يتضح لنا أن النقل الحركي في رمي الراجم يبدأ من الرجلين إلى الجذع ثم إلى الذراعين ، لذا يجب على اللاعب والمدرب فهم أساسيات وأسلوب الأداء ، والتمثلة في إتقان الحركة وترتبطها بعضها البعض ومدى إمكانية اللاعب في استغلال أجزاء الجسم المختلفة بانتقال حركي سريع من أسفل إلى أعلى ومتعرفة ميكانيكية كل منها .

ويساعد النقل الحركي من الناحية الميكانيكية على ترشيد عملية التعلم والتثقيف لتحسين الأداء الحركي والتقدم بمستوى اللاعبين لإنجاز أفضل النتائج ، ولأن المعلومات البصرية المتميزة بالطابع الذاتي والتي يحصل عليها المدرب من خلال ملاحظته للأداء الحركي للمهارة لا تكفي في حد ذاتها من أجل معلومة موضوعية عن الخصائص الواقعية وتوافقها وعن تعاقب تغير أوضاع الجسم والإيقاع الزمني لاشتراك وصلات الجسم البيوميكانيكية . هذا مما دفع الباحث لإجراء هذه الدراسة من خلال التأثير بمستوى الرقمي بدلاً من سرعة أجزاء الجسم لحظة انطلاق الراجم .

- أهداف البحث :

يهدف البحث إلى التعرف على ما يلي :-

- ١- العلاقات الارتباطية بين كل من سرعات الطرفين السفلي والعلوي للجسم وسرعة انطلاق الراجم لحظة انطلاقه (مرحلة التسليم) لأفراد عينة الدراسة .

- ٢- نسبة مساهمة كل من سرعات الطرف العلوي للجسم لحظة انطلاق الرمح (مرحلة التسليم) في المستوى الرقمي لرمي الرمح لأفراد عينة الدراسة .
- ٣- نسبة مساهمة سرعات الطرف السفلي والطرف العلوي للجسم وسرعة انطلاق الرمح خلال لحظة انطلاقه (مرحلة التسليم) في المستوى الرقمي لرمي الرمح لأفراد عينة الدراسة .
- ٤- المعادلات التبؤية للتسليم بالمستوى الرقمي لرمي الرمح بدلالة كل من سرعات الطرف السفلي والطرف العلوي وسرعة انطلاق الرمح لحظة رميها (مرحلة التسليم) لأفراد عينة الدراسة .

- فروض البحث :

- ١- توجد علاقات طردية بين كل من سرعات الطرفين السفلي والعلوي للجسم وسرعة انطلاق الرمح لحظة انطلاقه (مرحلة التسليم) لأفراد عينة الدراسة .
- ٢- تختلف نسبة مساهمة كل من سرعات الطرف العلوي للجسم لحظة انطلاق (مرحلة التسليم) في المستوى الرقمي لرمي الرمح لأفراد عينة الدراسة .
- ٣- تختلف نسبة مساهمة سرعات الطرف السفلي والطرف العلوي للجسم وسرعة انطلاق الرمح خلال لحظة انطلاقه (مرحلة التسليم) في المستوى الرقمي لرمي الرمح لأفراد عينة الدراسة .
- ٤- يمكن التسليم بالمستوى الرقمي لرمي الرمح بدلالة كل من سرعات الطرف السفلي والطرف العلوي وسرعة انطلاق الرمح لحظة رميها (مرحلة التسليم) لأفراد عينة الدراسة .

- المصطلحات المستخدمة :

- الانتقال الحركي :

تَذَرُّ حركي بين مجموعة عضلية وأخرى بغرض تعضيد إحدى المجموعات الأخرى للإسهام في تحقيق الهدف الحركي . (١ : ٢١٢)

- أنواع النقل الحركي :

١ - انتقال حركي من الجذع للأطراف .

٢ - انتقال حركي من الأطراف للجذع .

١ - انتقال حركي من الجذع للأطراف :

- نقل حركي من الجذع إلى الذراعين .

- نقل حركي من الجذع إلى الرجلين .

- نقل حركي من الجذع إلى الرأس .

٢ - انتقال حركي من الأطراف للجذع :

- نقل حركي من الرجلين إلى الجذع .

- نقل حركي من الذراعين إلى الجذع .

- نقل حركي من الرأس إلى الجذع .

(١ : ٢١٣ - ٢١٨)

- الرموز المستخدمة في البحث :

الرمز	المصطلح	م	الرمز	المصطلح	م
الطرف السفلي					الطرف العلوي
x25	سرعة الفخذ الأيمن في الاتجاه الرأسى	٢٥	x1	سرعة الرأس في الاتجاه الرأسى	١
x26	سرعة الفخذ الأيمن في الاتجاه الأفقي	٢٦	x2	سرعة الرأس في الاتجاه الأفقي	٢
x27	سرعة الفخذ الأيمن في الاتجاه السهمي	٢٧	x3	سرعة الرأس في الاتجاه السهمي	٣
x28	سرعة الساق الأيمن في الاتجاه الرأسى	٢٨	x4	سرعة الجذع في الاتجاه الرأسى	٤
x29	سرعة الساق الأيمن في الاتجاه الأفقي	٢٩	x5	سرعة الجذع في الاتجاه الأفقي	٥
x30	سرعة الساق الأيمن في الاتجاه السهمي	٣٠	x6	سرعة الجذع في الاتجاه السهمي	٦
x31	سرعة القدم اليمنى في الاتجاه الرأسى	٣١	x7	سرعة العضد الأيمن في الاتجاه الرأسى	٧
x32	سرعة القدم اليمنى في الاتجاه الأفقي	٣٢	x8	سرعة العضد الأيمن في الاتجاه الأفقي	٨
x33	سرعة القدم اليمنى في الاتجاه السهمي	٣٣	x9	سرعة العضد الأيمن في الاتجاه السهمي	٩
x34	سرعة الفخذ الأيسر في الاتجاه الرأسى	٣٤	x10	سرعة الساعد الأيمن في الاتجاه الرأسى	١٠
x35	سرعة الفخذ الأيسر في الاتجاه الأفقي	٣٥	x11	سرعة الساعد الأيمن في الاتجاه الأفقي	١١
x36	سرعة الفخذ الأيسر في الاتجاه السهمي	٣٦	x12	سرعة الساعد الأيمن في الاتجاه السهمي	١٢
x37	سرعة الساق الأيسر في الاتجاه الرأسى	٣٧	x13	سرعة اليد اليمنى في الاتجاه الرأسى	١٣
x38	سرعة الساق الأيسر في الاتجاه الأفقي	٣٨	x14	سرعة اليد اليمنى في الاتجاه الأفقي	١٤
x39	سرعة الساق الأيسر في الاتجاه السهمي	٣٩	x15	سرعة اليد اليمنى في الاتجاه السهمي	١٥
x40	سرعة القدم اليسرى في الاتجاه الرأسى	٤٠	x16	سرعة العضد الأيسر في الاتجاه الرأسى	١٦
x41	سرعة القدم اليسرى في الاتجاه الأفقي	٤١	x17	سرعة العضد الأيسر في الاتجاه الأفقي	١٧
x42	سرعة القدم اليسرى في الاتجاه السهمي	٤٢	x18	سرعة العضد الأيسر في الاتجاه السهمي	١٨
x43	سرعة انطلاق الرمح	٤٣	x19	سرعة الساعد الأيسر في الاتجاه الرأسى	١٩
x44	مسافة الرمي	٤٤	x20	سرعة الساعد الأيسر في الاتجاه الأفقي	٢٠
			x21	سرعة الساعد الأيسر في الاتجاه السهمي	٢١
			x22	سرعة اليد اليسرى في الاتجاه الرأسى	٢٢
			x23	سرعة اليد اليسرى في الاتجاه الأفقي	٢٣
			x24	سرعة اليد اليسرى في الاتجاه السهمي	٢٤

- الدراسات المرتبطة :

- دراسة عادل عمر (٢٠٠١م) (٤)

"مساهمة سرعة الطرف العلوي في سرعة الطرف السفلي بالجسم خلال مراحل ركل الكرة من الشبات"

- هدف الدراسة :

١- التوصيف الكينماتيكي لحركة كل من الطرف العلوي والسفلي بالجسم خلال مراحل أداء ركل الكرة من الشبات .

٢- التعرف على نسبة مساهمة سرعة الطرف العلوي في سرعة الطرف السفلي بالجسم خلال مراحل أداء ركل الكرة من الشبات .

- عينة الدراسة :

اشتملت عينة الدراسة على عدد (١٢) طالب من طلبة تخصص كرة القدم بميدون الصويب من الشبات ومسجلين بأندية الدرجة الأولى بالإتحاد المصري .

- أهم النتائج :

١- تناسب سرعة الرجل اليمني الضاربة تناصباً طردياً مع كل من السرعة الأفقية للجذع ومحصلة سرعة الجذع والسرعة الأفقية لليد اليمنى .

٢- وجود علاقة طردية بين السرعة الأفقية للرأس ومحصلة سرعة الرأس وعلاقة طردية بين السرعة الرأسية للحوض والسرعة الرأسية لليد اليمنى وبين السرعة الأفقية للحوض ومحصلة سرعة الحوض .

٣- اختلاف نسب المساهمة في مرحلة المتابعة بعد ركل الكرة .

- دراسة جون شو ، آن كينستر ، يونج ليم John chow , Ann kuenster and Young lim (٢٠٠٣م) (١٤)

"تحليل الكينماتيكي للأداء الفنى لرمي الرمح بالكرسى المتحرك لمختلف الدرجات الوظيفية "

- هدف الدراسة :

إنجاد الموديلات الكينماتيكية الأكثر ارتباطاً بالتصنيفات الوظيفية لرياضي رمي الرمح والمسافات المحققة له .

- عينة الدراسة :

اشتملت العينة على عدد (١٥) لاعب بتصنيفات مختلفة كل لاعب أدى من ٦ - ١٠ محاولات وتم تحليل أفضل محاولتين قانونيين بتحليل كينماتيكي ثالثى الأبعاد .

- أهم النتائج :

١- سرعات وزوايا الرمح كانت بمدى من ٩,١ - ١٤,٧ مم / ث ، ٢٩,٦ - ٣٥,٨ بالنسبة للزاوية .

٢- سرعة انطلاق الرمح كانت دالة ومرتبطة بكل من التصنيفات الوظيفية والمسافات المحققة .

- دراسة على جواد (٢٠٠٥) (٨)

" دراسة مقارنة لبعض المتغيرات الكينماتيكية المميزة لأداء لاعبى رمى الرمح "

- هدف الدراسة :

١- التعرف على بعض المتغيرات الكينماتيكية لأداء رمي الرمح .

٢- المقارنة بين بعض المتغيرات الكينماتيكية بالنسبة للمستوى العالمي .

- عينة الدراسة :

- أبطال الجامعات العراقية لرمي الرمح والتتويج العالمي لأبطال العالم رجال .

- أهم النتائج :

١- ظهرت فروق معنوية عالية في معظم الخصائص الكينماتيكية المميزة لخطوط الارتكاز .

٢- لم تظهر فروق معنوية في متغير طول خطوة الارتكاز بين عينة البحث والمستوى العالمي

- دراسة عبد الجبار شين (٢٠٠٥) (٦)

" تحليل العلاقة بين بعض المتغيرات الكينماتيكية ومسافة الإنخاز في فعالية رمي الرمح "

- هدف الدراسة :

١- التعرف على القيم الرقمية في بعض المتغيرات البيوميكانيكية في خطوة الرمي .

٢- التعرف على العلاقة الارتباطية بين بعض المتغيرات البيوميكانيكية ومسافة الإنخاز في رمي الرمح .

- عينة الدراسة :

تكونت عينة الدراسة من أبطال القطر المشاركون في بطولة الجانزة الكبرى التي يقيمهها

الاتحاد العراقي .

- أهم النتائج :

١- وجود تباين بين رمية وأخرى في طول الخطوة مما يعكس انعدام الثبات في المسار الحركي للخطوة .

٢- إن القيم الرقمية لزاوية الانطلاق ما بين (٤٣ - ٥٧) مما أدى إلى زيادة المركبة العمودية كثيراً على المركبة الأفقية والتي هي الأساس في إنجاز أكبر مسافة للرمي .

- إجراءات البحث :

أولاً : منهج البحث :

- استخدام الباحث المنهج الوصفي للانتماء لطبيعة البحث .

ثانياً : عينة البحث :

تم اختيار عينة البحث بالطريقة العمدية من طلاب تخصص ألعاب القوى بكلية التربية الرياضية ببور سعيد وكان عدد العينة (٥) طلاب يجيدون رمي الرمح ومسجلين بالاتحاد المصري لألعاب القوى وقد قام كلًّا منهم بأداء (٣) محاولات . وتم استبعاد المحاولات الفاشلة ، واختيار أحسن محاولة من المحاولات الصحيحة .

جدول (١)

المتوسط الحسابي والانحراف المعياري ومعامل الالتواء

لمتغيرات (السن ، الطول ، الوزن ، العمر التدريسي)

$n = 5$

الإلتواه	المدى	الحد الأدنى	الحد الأعلى	متوسط	متر	س-	وحدة قياس	بيانات إحصائية
								المتغيرات
٠,٤٤	٦,٣٠	١٨,١٠	٢٤,٤٠	٢٢,٤٣	٢١,١٤	سنة	سن	السن
٠,٢٩	٨,١٠	١٧٢,٥٠	١٨٠,٥٠	١٧٦,٣٧	١٧٦,٣٠	سم	سم	الطول
٠,٤٥ -	٤٣,٠٠	٧٠,٠٠	١١٣,٠٠	٩٣,٦٢	٩٣,٠٠	كجم	كجم	الوزن
٠,٣٥	٣,٠٠	٤,٠٠	٧,٠٠	٥,٥٧	٥,٣٠	سنة	سنة	العمر التدريسي

يتضح من جدول (١) أن قيم معامل الالتواء تراوحت ما بين (٠,٤٥ - ٠,٥٣)

وهذه القيم تختصرت ما بين ± 3 مما يدل على تجانس عينة البحث في متغيرات السن ، الطول
، الوزن والعمر التدريسي .

- أسباب اختيار عينة البحث :

- ١ - وجود طلاب مسجلين بالاتحاد المصرى لألعاب القوى ويخيدون رمى الرمح .
- ٢ - وجود الطلاب في تخصص ألعاب القوى .
- ٣ - توافر أجهزة التصوير بالفيديو ومعداته بمعمل الميكانيكا الحيوية بالكلية .
- ٤ - انتظام الطلاب في حضور محاضرات التخصص .
- ٥ - انتظام مشاركة الطلاب مع أنديةهم في المسابقات الرسمية لاتحاد ألعاب القوى
- ٦ - الباحث عضو هيئة التدريس بالكلية مما سهل عملية التصوير والتحليل الخروجى .

- ثالثاً : وسائل جمع البيانات :

١- التصوير بالفيديو .

٢- استخدام نظام (وين) للتحليل الحركي الفوري .

٣- استخدام البرنامج الإحصائي (SPSS) .

١- التصوير بالفيديو :

تم تصوير (٥) لاعبين بعد إعدادهم للتصوير باستخدام كاميرتين فيديو ماركة PANASONIC سرعة كلاً منها ٢٥ مجال / ث ، ووضعت الكاميرا الأولى (اليسرى) على بعد (١٠,٥٠م) عن مكعب المعايرة . ووضعت الكاميرا الثانية (اليمني) على بعد (١٠,٥٠م) عن مكعب المعايرة في حين كانت المسافة بين الكاميرتين (١١,٨٠م) وارتفاعها (١٢ : ٥) .

٢- تحليل الفيلم :

بعد عرض الفيلم ورؤيه المحاولات التي تم تصويرها تبين صلاحيتها للتحليل وتم تحليلها بنظام التحليل الحركي (وين) win analysis automatic motion analysis بعميل الميكانيكا الحيوية بالكلية ، وقد استخدم نموذج بيرنشتاين (١٩٦٧م) عن عادل عبد البصير (١٩٩٨م) (٥ : ١٥٥) لتحديد G.C. والمسارات الهندسية للنقاط الثابتة بالجسم (المفاصل) .

وقد تم حساب كل من الإزاحات الرأسية والأفقية والسرعات الأفقية والرأسية ومحصلتها لكل من G.C وأجزائه باستخدام المعادلات الآتية :

$$1- \quad VY = \lim_{T \rightarrow 0} \frac{SY_2 - SY_1}{T_2 - T_1} = \frac{dy_s}{dt}$$

$$2- \quad VX = \lim_{T \rightarrow 0} \frac{SX_2 - SX_1}{T_2 - T_1} = \frac{dx_s}{dt}$$

$$3- \quad VZ = \lim_{T \rightarrow 0} \frac{SZ_2 - SZ_1}{T_2 - T_1} = \frac{dz_s}{dt}$$

- المعاجلات الإحصائية :

- المتوسط الحسابي .

- الانحراف المعياري .

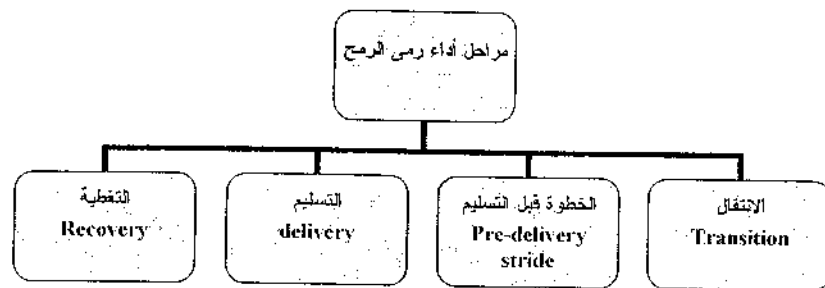
- معامل الالتواء .

- مصفوفة الارتباط البسيط لسpearman

- التحليل المنطقي للانحدار Stepwise regression

- إجراء التصوير :

تم التصوير يوم الاثنين الموافق ٧ / ٥ / ٢٠٠٧ م بكلية التربية الرياضية ببور سعيد ولتسهيل عملية التحليل قام الباحث بوضع نموذج تخطيطي للمراحل التي يمر بها اللاعب خلال أداء رمي الرمح والعوامل الكينماتيكية المؤثرة في الجسم وأجزائه خلال الأداء . (شكل ١) ، (شكل ٢)



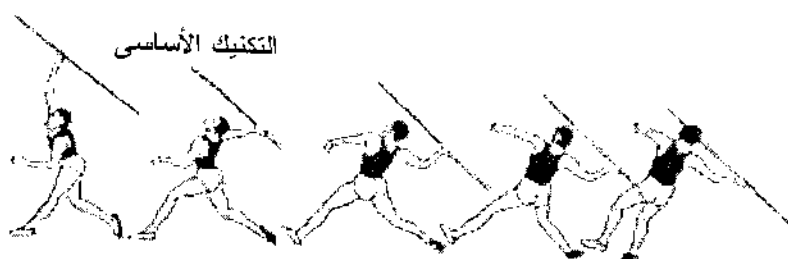
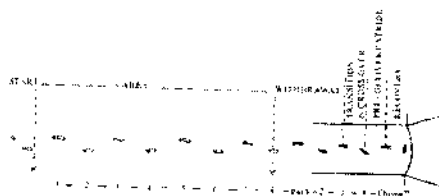
C.G _{vy}	C.G _{vx}	C.G _{vz}	C.G _{vy}	C.G _{vx}	C.G _{vz}	C.G _{vy}	C.G _{vx}	C.G _{vz}	C.G _{vy}	C.G _{vx}	C.G _{vz}
V _y	V _x	V _z	V _y	V _x	V _z	V _y	V _x	V _z	V _y	V _x	V _z
head											
V _y	V _x	V _z	V _y	V _x	V _z	V _y	V _x	V _z	V _y	V _x	V _z
trunk											
V _y	V _x	V _z	V _y	V _x	V _z	V _y	V _x	V _z	V _y	V _x	V _z
upa											
V _y	V _x	V _z	V _y	V _x	V _z	V _y	V _x	V _z	V _y	V _x	V _z
fora											
V _y	V _x	V _z	V _y	V _x	V _z	V _y	V _x	V _z	V _y	V _x	V _z
hand											
V _y	V _x	V _z	V _y	V _x	V _z	V _y	V _x	V _z	V _y	V _x	V _z
thigh											
V _y	V _x	V _z	V _y	V _x	V _z	V _y	V _x	V _z	V _y	V _x	V _z
shinkl											
V _y	V _x	V _z	V _y	V _x	V _z	V _y	V _x	V _z	V _y	V _x	V _z
foot											

شكل (١)

نمودج تقطعي للعوامل الكينماتيكية المؤثرة في الجسم خلال الأداء

لإنجاز المسافة القصوى في الرمح ، يجب أن يوازن اللاعب ثلات مكونات (سرعة وتقنيك وقوه) . إن المعلومات على هذه الصفحة لرامى أيمن . يشتمل رمي الرمح على المراحل التالية :

- البدء Start
- الحمل Carry
- السحب Withdrawal
- الانتقال Transition
- الخطوة قبل التسلیم Pre-delivery stride
- التسلیم Delivery
- التنفس Recovery



شكل (٢)

مراحل رمي الرمح

- العمل من اليمين إلى اليسار في سلسلة صور الرمية شكل (٢) :

- موقع الذقن ، الركبة ، أصبع القدم يجب أن يتبع بالوزن على الساق الخلفي .
- المقعدة أماماً .
- يجب أن تكون الأقدام على خط اتجاه الرمي .
- حل ذراع الرمي متوازياً على الأرض ، ومتمددة بالراحة والكف لأعلى .

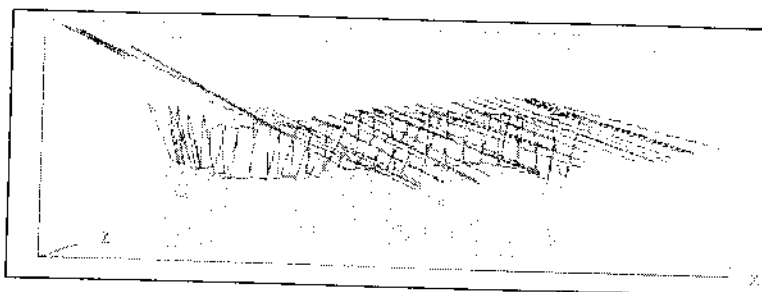
- يقود الساق الخلفي المقعدة إلى الأمام ، ينقل الوزن من الرجل اليمنى إلى الرجل اليسرى .
- يجلب الذراع بسرعة وللخلف .
- يجب أن يبقى المرفق عالي وقريب من الرأس ، مع بداية رمي الرمح أعلى قمة الرأس .

(١٧)

ـ عرض النتائج ومناقشتها :

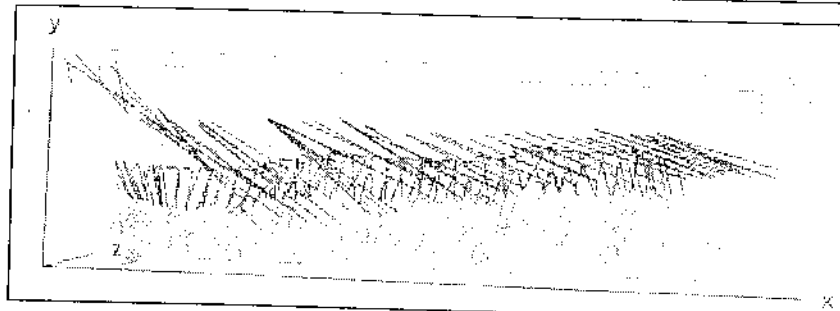
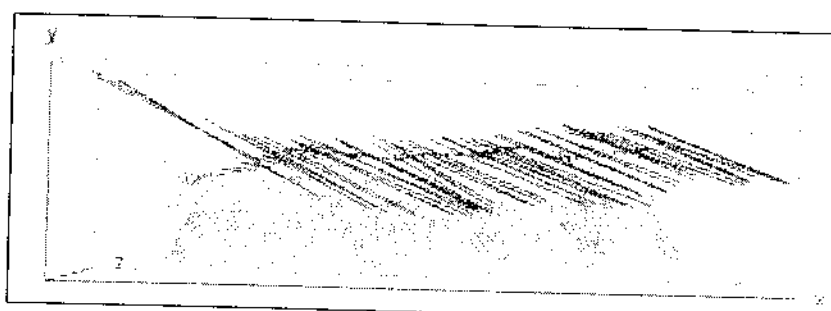
أولاً : عرض النتائج :

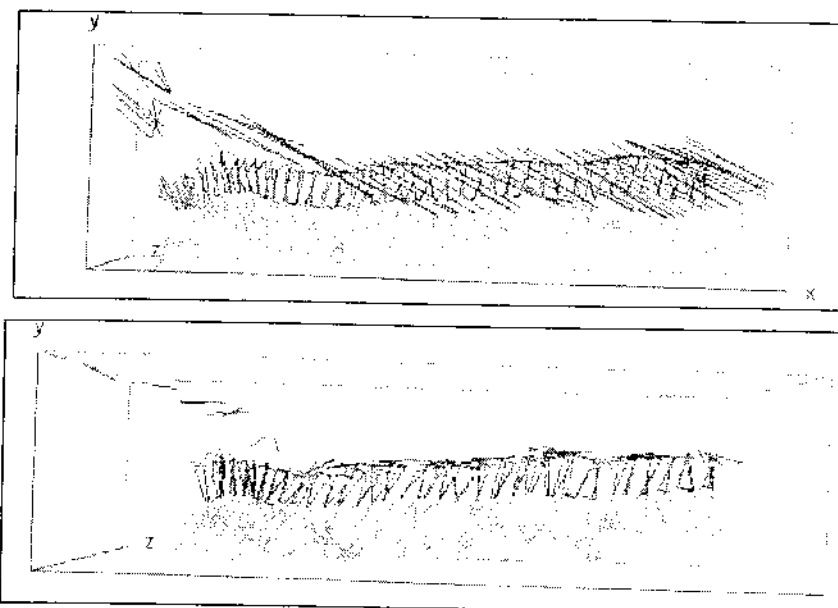
يعرض شكل (٣) الصورة المتابعة لمركز ثقل كتلة جسم اللاعب خلال مراحل أداء رمي الرمح . كما تعرض المداول من (٢) إلى (٥) متوسط سرعة الطرفين السفلي والعلوي للجسم وسرعة الرمح لحظة الانطلاق والمستوى الرقمي ومصفوفة الارتباط البسيط بين كل من سرعات الطرفين السفلي والعلوي للجسم وسرعة انطلاق الرمح ، الخطوة النهاية للتحليل المنطقي لأنحدار كل من سرعات الطرف العلوي والطرف السفلي للجسم وسرعة انطلاق الرمح خلال لحظة الانطلاق (مرحلة التسليم) في المستوى الرقمي لرمي الرمح لأفراد عينة البحث .



شكل (٣)

الصور المتتابعة لمرکز ثقل كتلة جسم اللاعب





تابع : شكل (٣)

الصور المتتابعة لمركز ثقل كتلة جسم اللاعب

جدول (٢)

متوسطات سرعات الطرفين السفلي والعلوي للجسم وسرعة الرمح

لحظة الرمي والمستوى الرقمي لرمي الرمح

$\sigma = 0$

المدى	الحد الأدنى	الحد الأعلى	ع	س-	المتغيرات
٣٢,٣٢	٩,٧٣ -	٢٢,٥٩	١٢,٣١	٤,٥٩	$\times 1$
٧٩,٩٥	١٩٧,١٦ -	١١٧,٢١ -	٣١,٤٩	١٥٥,٢٥ -	$\times 2$
٣٨,٠٤	٧٤,٣٠ -	٣٦,٢٦ -	١٥,٠٤	٥٧,٣٧ -	$\times 3$
٤٥,٦٠	٣٧,٩١ -	٧,٦٨	١٦,٢٨	١٦,١٥ -	$\times 4$
٥٧,٢٠	١٤٤,٥٩ -	٨٧,٤٠ -	٢٣,١٥	١٢١,٧٨ -	$\times 5$
٤٨,١٢	٣٨,٢٣ -	٩,٨٨	١٨,١٤	١٩,١٢ -	$\times 6$

١٦٠,٥٧	١٦٨,٥٣ -	٧,٩٥ -	٦٧,٩٣	٧٦,٥٧ -	x٧
٧٣,٥٢	٢٥٣,٢٧ -	١٨٩,٧٥ -	٣٠,٧٢	٢١٥,١٦ -	x٨
٢٤,٧٠	٦٢,٨٢ -	٣٨,١٢ -	١١,١٤	٤٩,٢٩ -	x٩
٢٧٤,٩٦	٢٦٩,٧١ -	٥,٢٤	١١٨,٣٧	١٣٦,٧٠ -	x١٠
١٨٧,٠٠	٤٠٠,٦٢ -	٢١٣,٦٢ -	٨٦,١٤	٢٩٠,٢٢ -	x١١
٦٠,٩٤	١١٥,٠١ -	٥٤,٠٧ -	٢٢,٩٧	٨٠,١٨ -	x١٢
٣٤٣,٧٨	٢٨٠,٢٦ -	٦٣,٥٢	١٤٥,٢٩	١٢٨,٢٤ -	x١٣
٣٣٠,٦٩	٥٥٤,٧٠ -	٢٢٤,٠٢ -	١٤٥,٥٧	٣٦٩,٠٦ -	x١٤
١٠٢,٤٥	١٥٨,١٨ -	٥٥,٧٢ -	٤٣,٤٣	١١٢,٦٣ -	x١٥
٩٨,٨٧	٣٧,٧٢ -	٦١,١٥	٣٦,٣٣	١٥,٨١	x١٦
١٠٩,٤٥	١٧٧,٩٤ -	٦٨,٤٩ -	٤٣,٧٤	١١٢,٢٩ -	x١٧
٧١,٣٠	٣٤,٤٨ -	٣٦,٨٣	٣٢,٧٢	٦,٠٠ -	x١٨
١٦٦,١٤	٧٢,٦٧ -	٩٣,٤٧	٦٠,٨٨	٧,٠٦ -	x١٩
١٥٣,٤٩	٢٤٤,٢٣ -	٩٠,٧٥ -	٥٩,٢٨	١٤٢,٠٥ -	x٢٠
١٤٠,٠٥	٦٠,٣١ -	٧٩,٧٤	٥٣,٨٨	١٤,٧٩	x٢١
٢٣٣,٥٣	١٠٤,٩٣ -	١٢٨,٦٠	٨٤,٣٤	٤,٤٧ -	x٢٢

تابع : جدول (٢)

متوسطات سرعات الطرفين السفلي والعلوي للجسم وسرعة الرمح

لحظة الرمي والمستوى الرقمي لرمي الرمح

٥ = ن

المدى	الحد الأدنى	الحد الأعلى	ع	- س-	المتغيرات
١٦٣,٢٥	٢٥١,٦٤ -	٨٨,٣٨ -	٦٦,٦٣	١٧١,٩٩ -	x٢٣
٢٤٦,٣٦	١١٤,١١ -	١٣٢,٢٥	١٠٢,٢٩	٣١,٠٨	x٢٤
٣٢,٧٤	٣٤,٣٦ -	١,٨٩ -	١٢,٥٤	٢٢,٣٤ -	x٢٥
٧٦,٢١	١٦٥,٤٩ -	٨٩,٢٨ -	٣١,٣٧	١٤٣,٣٤ -	x٢٦

٩٢,١٥	٦٦,٣٩-	٢٥,٧٧	٣٥,٤٧	١٤,٦٩-	x٢٧
٨٤,٨١	٧٩,١٦-	٥,٦٥	٣٢,٣٨	٢١,٨٨-	x٢٨
١٣٢,٨٢	٢٤١,٣٧-	١٠٨,٥٥-	٤٩,٩٠	١٨٧,٩٦-	x٢٩
١١٧,٣٤	٨٨,٩٠-	٢٨,٤٤	٤٨,٤٤	٢٨,٢٠-	x٣٠
١٣٥,٠٢	٧٨,٤٩-	٥٦,٥٤	٤٧,٨٢	١٣,١٦-	x٣١
٢٠٨,٣٢	٢٩٨,١٢-	٨٩,٨١-	٧٨,٤١	٢١٧,٦٨-	x٣٢
١١٢,٠٩	٧٩,٢١-	٣٢,٨٨	٤٥,٠٦	١٨,٠٦-	x٣٣
٣٢,٨٧	٢٦,٩٦-	٥,٩١	١٢,٢٨	١٤,٥٢-	x٣٤
٧٣,٦١	١٠١,٢٧-	٢٧,٦٦-	٣٠,٦٨	٥٩,٢٥-	x٣٥
٥٠,٢٣	٤٦,١٦-	٤,٠٧	٢١,٢٤	٩,٩٩-	x٣٦
٥٤,٩٩	٤٦,٥٦-	٨,٤٣	٢١,٥٤	١٣,٨٣-	x٣٧
١٢٣,٢١	١٣٠,١٥-	٦,٩٤-	٥٢,٢١	٤١,٧١-	x٣٨
٢٧,٢٣	٣٨,٣٢-	١١,٠٩-	١٠,٩٧	٢٤,٩٨-	x٣٩
٨٤,٧٩	٨٢,٨٨-	١,٩١	٣٥,٩٣	٢١,٢١-	x٤٠
١٢٩,٨٢	١٢٢,٢٠-	٧,٦٢	٥٢,٧٣	٢٧,٣٨-	x٤١
٧٧,٤٣	٧٤,٤٠-	٣,٠٣	٣٥,٢٦	٢٦,٢٢-	x٤٢
٣٣٣,٧٤	٣٦١,٢٧-	٢٧,٥٣-	١٣٢,٨٥	١٦٢,٩٣-	x٤٣
١٠,١٠	٤٨,٤٠	٥٨,٥٠	٤,٣٣	٥٠,٧٦	x٤٤

يتضح من الجدول رقم (٢) أن متوسطات سرعات الطرف السفلي للجسم قد انحصرت ما بين (٩,٩٩ إلى ٢١٧,٦٨) ، وأن متوسطات سرعات الطرف العلوي للجسم قد انحصرت ما بين (٣٦٩,٠٦ إلى ٣١,٠٨) ، وكذلك متوسطات سرعة انطلاق الرمح قد بلغت (١٦٢,٩٣) ، في حين أن متوسطات مسافة الرمي قد بلغت (٥٠,٧٦) .

جدول (٣)

مصفوفة العلاقات الارتباطية بين كل من سرعات الطرفين السفلي والعلوي للجسم

وسرعة انطلاق الرمح

$n = 5$

x _١	x _٢	x _٣	x _٤	x _٥	x _٦	x _٧	x _٨	x _٩	x _{١٠}	المتغيرات
0.991	0.379	0.192	0.246	0.862	0.468	0.737	0.056	x _١
0.111	0.047	0.072	0.597	0.007	0.440	0.246	...	0.056	...	x _٢
0.818	0.847	469	0.158	0.341	0.068	...	0.246	0.737	...	x _٣
0.398	0.571	0.806	*0.943	0.758	...	0.068	0.440	0.468	...	x _٤
0.805	0.117	0.656	0.576	...	0.758	0.341	0.007	0.862	...	x _٥
0.197	0.647	0.754	...	0.576	*0.943	0.158	0.597	0.246	...	x _٦
0.063	0.816	...	0.754	0.656	0.806	469	0.072	0.192	...	x _٧
0.475	...	0.816	0.647	0.117	0.571	0.847	0.047	0.379	...	x _٨
...	0.475	0.083	0.197	0.805	0.398	0.818	0.111	0.991	...	x _٩
0.008	0.812	**0.978	0.605	0.591	0.686	0.553	0.264	0.127	...	x _{١٠}
0.512	*0.926	0.651	0.573	0.024	0.531	0.834	0.161	0.421	...	x _{١١}
0.521	0.406	0.76	0.878	0.842	0.885	0.127	0.354	0.563	...	x _{١٢}
0.161	1.681	0.945	0.553	0.442	0.513	0.691	0.283	0.039	...	x _{١٣}
*0.881	0.945	0.601	0.557	0.086	0.497	0.837	0.201	0.468	...	x _{١٤}
0.723	-	0.053	0.406	0.783	0.768	0.827	0.478	0.642	0.726	x _{١٥}
0.845	-	0.379	0.021	0.409	0.603	0.524	0.765	0.592	0.815	x _{١٦}
0.864	-	0.262	0.339	0.148	0.874	0.349	0.560	0.282	0.890	x _{١٧}
0.428	-	0.338	0.741	0.57	0.785	0.586	0.052	0.105	0.476	x _{١٨}
0.907	-	0.404	0.02	0.295	0.677	0.492	0.747	0.368	0.899	x _{١٩}
0.623	-	0.339	0.175	0.205	0.611	0.029	0.429	0.613	0.642	x _{٢٠}
0.405	-	0.615	0.586	0.298	0.053	0.124	0.549	0.231	0.367	x _{٢١}
0.717	-	0.099	0.195	0.517	0.624	0.685	0.478	0.526	0.732	x _{٢٢}

- تعني العلامة (*) أن معامل الارتباط ذات احصائيّة عند مستوى (٠.٠٥)

- تعني العلامة (**) أن معامل الارتباط ذات احصائيّة عند مستوى (٠.٠١)

تابع : جدول (٣)

**مصفوفة العلاقات الارتباطية بين كل من سرعات الطرفين السفلي والعلوي للجسم
وسرعة انطلاق الرمح**

$n = 5$

x^4	x^8	x^7	x^6	x^5	x^4	x^2	x^4	x^1	المتغيرات
0.152-	0.334-	0.090-	0.401	0.108	0.424-	0.244-	0.573	0.123	x ₂₃
0.369-	0.258-	0.243-	0.165-	0.092	0.286	0.383-	0.367-	0.353	x ₂₄
0.799-	0.087-	0.311	0.435-	0.764	0.689	0.459-	0.280-	0.838	x ₂₅
0.853-	0.023-	0.446	0.551-	0.893*	0.766	0.463-	0.246-	0.896†	x ₂₆
0.563-	0.385-	0.235-	0.112-	0.25	0.286	0.539-	0.455-	0.548	x ₂₇
0.597-	0.102-	0.407	0.075	0.719	0.172	0.221-	0.673	0.661	x ₂₈
0.894-*	0.270-	0.176	0.352-	0.76	0.583	0.628-	0.271-	0.911*	x ₂₉
0.113	0.354	0.126	0.429-	0.073-	0.457	0.247	0.572-	0.302-	x ₃₀
0.029	0.212	0.426	0.236	0.27	0.119-	0.312	0.900*	0.045	x ₃₁
0.631-	0.028	0.282	0.558-	0.608	0.732	0.341-	0.496-	0.663	x ₃₂
0.067	0.588	0.475	0.558-	0.191	0.669	0.396	0.380-	0.069	x ₃₃
0.197	0.5	0.616	0.03	0.248	0.051	0.358	0.796	0.101-	x ₃₄
0.524-	0.223-	0.148	0.264	0.489	0.07	0.207-	0.603	0.59	x ₃₅
0.729-	0.567-	0.054-	0.366	0.545	0.123-	0.598-	0.573	0.735	x ₃₆
0.225-	0.096	0.409	0.235	0.437	0.017	0.155	0.873	0.315	x ₃₇
0.436-	0.144-	0.266	0.3	0.513	0.025-	0.113-	0.823	0.503	x ₃₈
0.658-	0.781-	0.505-	0.413	0.187	0.175-	0.741-	0.046	0.623	x ₃₉
0.488-	0.268-	0.223	0.315	0.527	0.035-	0.185-	0.797	0.549	x ₄₀
0.626-	0.466-	0.019	0.395	0.514	0.149-	0.457-	0.695	0.647	x ₄₁
0.837-	0.868-	0.476-	0.25	0.35	0.095-	0.974**	0.123-	0.771	x ₄₂
0.334-	0.367	0.69	0.642-	0.682	0.383	0.037-	0.069-	0.364	x ₄₃
0.418	0.413-	0.147-	0.004-	0.254	0.060-	0.603-	0.182-	0.34	x ₄₄

- تعني العلامة (*) أن معامل الارتباط دال إحصائياً عند مستوى (٠٠٥).

- تعني العلامة (**) أن معامل الارتباط دال إحصائياً عند مستوى (٠٠١).

تابع : جدول (٣)

مصفوفة العلاقات الارتباطية بين كل من سرعات الطرفين السفلي والعلوي للجسم

وسرعة انطلاق الرمح

$n = 5$

x18	x17	x16	x15	x14	x13	x12	x11	x10	الغيرات
0.476-	0.890*	0.815	0.726	0.468-	0.039*	0.563	.421-	0.127	x1
0.165-	0.282	0.592-	0.642-	0.201-	0.283	0.354-	0.161-	0.264	x2
0.052	0.560-	0.765-	0.428-	0.837	0.601	0.127-	0.834	0.553	x3
0.586-	0.349	0.524	0.827	0.497	0.613	*0.885	0.531	0.686	x4
0.785-	0.874	0.603	0.768	0.086-	0.442	0.842	0.024-	0.591	x5
0.57	0.148-	0.409-	0.783-	0.557-	0.355-	0.878-	0.573-	0.605-	x6
0.741-	0.339	0.021-	0.406	0.601	*0.945	0.76	0.651	**0.978	x7
0.338-	0.262-	0.379-	0.053	*0.945	**0.891	0.406	*0.926	0.812	x8
0.428	0.864-	0.845-	0.723-	*0.881	0.161	0.521-	0.512	0.008-	x9
0.683-	0.324	0.165-	0.232	0.161	*0.984	0.626	0.65	0.25	x10
0.013-	0.452-	0.283	0.02	**0.984	0.749	0.212	0.212	0.65	x11
0.857-	0.58	0.501	0.851	0.749	0.506	0.212	0.212	0.626	x12
0.563-	0.159	0.296	0.1	0.306	0.506	0.749	**0.984	0.161	x13
0.037	0.512-	0.295-	0.001-	0.506	0.749	**0.984	0.161	0.232	x14
0.518-	0.512	0.868	0.512	0.001-	0.1	0.851	0.02	0.232	x15
0.150-	0.487	0.868	0.295-	0.295-	0.296	0.501	0.283	0.165-	x16
0.720-	0.487	0.512	0.512-	0.159	0.38	0.452-	0.324	0.212	x17
0.720-	0.720-	0.150-	0.518-	0.037	0.563-	0.857-	0.013-	0.683-	x18
0.145-	0.6	0.961**	0.784	0.320-	0.211-	0.436	0.295-	0.079-	x19
0.623-	0.900*	0.113	0.103	0.633-	0.102	0.276	0.376-	0.232	x20
0.638	0.015-	0.588	0.145	0.281-	0.579-	0.361-	0.293-	0.564-	x21
0.079-	0.374	0.913*	0.822	0.48	0.011-	0.492	0.068	0.082	x22

- تعني العلامة (*) أن معامل الارتباط دال إحصائيا عند مستوى (٠.٠٥)

- تعني العلامة (**) أن معامل الارتباط دال إحصائيا عند مستوى (٠.٠١)

تابع : جدول (٣)

مصفوفة العلاقات الارتباطية بين كل من سرعات الطرفين السفلي والعلوي للجسم

وسرعة انطلاق الرمح

$n = 5$

x ₁₈	x ₁₇	x ₁₆	x ₁₅	x ₁₄	x ₁₃	x ₁₂	x ₁₁	x ₁₀	المطردات
0.480-	0.498	0.301-	0.258-	0.664-	0.103-	0.011	0.643-	0.032-	x ₂₂
0.489	0.104-	0.710	0.448	0.081	0.332-	0.032-	0.067	0.320-	x ₂₃
0.216-	0.365	0.85	0.772	0.005-	0.127	0.525	0.033	0.236	x ₂₅
0.442-	0.702	0.834	0.846	0.041-	0.227	0.692	0.006	0.359	x ₂₁
0.372	0.121	0.809	0.506	0.094-	0.352-	0.28	0.090-	0.304-	x ₂₇
0.601-	0.879*	0.11	0.431	0.342-	0.379	0.324	0.273-	0.488	x ₂₈
0.218-	0.644	0.907*	0.776	0.206-	0.032-	0.49	0.169-	0.096	x ₂₄
0.447	0.472-	0.313	0.282	0.676	0.132	0.024	0.057	0.065	x ₂₆
0.308-	0.458	0.557-	0.831-	0.081-	0.553	0.031	0.028-	0.57	x ₂₁
0.063-	0.311	0.84	0.782	0.188	0.106	0.486	0.21	0.181	x ₂₂
0.149	0.250-	0.249	0.348	0.802	0.484	0.249	0.809	0.436	x ₂₃
0.523-	0.299	0.614-	0.351-	0.223	0.761	0.138	0.273	0.748	x ₂₄
0.068-	0.597	0.202	0.004	0.211-	0.284	0.040-	0.155-	0.261	x ₂₅
0.345-	0.86	0.279	0.092	0.727-	0.112-	0.083	0.676-	0.013	x ₂₆
0.359-	0.574	0.246-	0.229-	0.075-	0.526	0.34	0.011-	0.539	x ₂₇
0.361-	0.710	0.056-	0.122-	0.311-	0.330-	0.048	0.247-	0.398	x ₂₈
0.362	0.37	0.61	0.165	0.586-	0.558-	0.257-	0.575-	0.487-	x ₂₉
0.352-	0.747	0	0.091-	0.369-	0.271	0.048	0.305-	0.348	x ₁
0.364-	0.83	0.134	0.017-	0.648-	0.003	0.048	0.593-	0.112	x ₂₁
0.037	0.578	0.753	0.406	0.816-	0.656-	0.032	0.806-	0.526-	x ₂₇
0.972-**	0.587	0.146	0.548	0	0.49	0.0874	0.037	0.601	x ₄₂
0.527-	0.469	0.272	0.344	0.676-	0.371-	0.383	0.678-	0.249-	x ₄₁

- تعني العلامة (*) أن معامل الارتباط دال إحصائياً عند مستوى (٠٠٥).

- تعني العلامة (**) أن معامل الارتباط دال إحصائياً عند مستوى (١٠٪).

تابع : جدول (٣)

مصفوفة العلاقات الارتباطية بين كل من سرعات الطرفين السفلي والعلوي للجسم وسرعة انطلاق الرمح

$n = 5$

x ₁₇	x ₂₁	x ₂₀	x ₁₄	x ₁₅	x ₁₂	x ₂₁	x ₁₃	x ₁₉	المجموعات
0.548	0.896*	0.838	0.353	0.123	0.732	0.367	0.642	0.899*	x ₁
0.455-	0.246-	0.280-	0.567-	0.523	0.526-	0.231-	0.613	0.368-	x ₂
0.539-	0.463-	0.459-	0.383-	0.244-	0.478-	0.549-	0.429-	0.747-	x ₃
0.286	0.766	0.689	0.286	0.424-	0.685	0.124-	0.029-	0.492	x ₄
0.25	0.893*	0.764	0.092	0.108	0.624	0.053-	0.611	0.677	x ₅
0.142-	0.551-	0.455-	0.165-	0.401	0.517-	0.298	0.205	0.295-	x ₆
0.255-	0.416	0.311	0.243-	0.090-	0.191	0.556-	0.175	0.02	x ₇
0.385-	0.023-	0.087-	0.258-	0.134-	0.099-	0.615-	0.339-	0.404-	x ₈
0.563-	0.853-	0.799-	0.369-	0.152-	0.717-	0.405-	0.623-	0.907-	x ₉
0.304-	0.359	0.236	0.320-	0.032-	0.082	0.564-	0.232	0.079-	x ₁₀
0.096-	0.006	0.033	0.067	0.643-	0.068	0.293-	0.576-	0.295-	x ₁₁
0.28	0.692	0.525	0.032-	0.011	0.492	0.361-	0.276	0.136	x ₁₂
0.362-	0.227	0.127	0.332-	0.103-	0.011-	0.579-	0.102	0.211-	x ₁₃
0.094-	0.041-	0.005-	0.081	0.664-	0.48	0.284-	0.633-	0.320-	x ₁₄
0.506	0.846	0.772	0.448	0.238-	0.822	0.145	0.103	0.784	x ₁₅
0.809	0.854	0.85	0.719	0.301-	0.913*	0.588	0.113	0.961**	x ₁₆
0.121	0.782	0.565	0.104-	0.498	0.374	0.015-	0.900*	0.6	x ₁₇
0.372	0.442-	0.216-	0.489	0.480-	0.079-	0.638	0.623-	0.145-	x ₁₈
0.844	0.902*	0.931*	0.719	0.266-	0.927*	0.656	0.26	0.26	x ₁₉
0.187-	0.34	0.198	0.417-	0.777	0.036-	0.167-	0.167-	0.26	x ₂₀
0.913*	0.36	0.552	0.880*	0.492-	0.618	0.618	0.167-	0.656	x ₂₁
0.881*	0.904*	0.960**	0.829	0.576-	0.618	0.036-	0.927*	0.26	x ₂₂

- تعني العلامة (*) أن معامل الارتباط دال احصائياً عند مستوى (٠٠٥).

- تعني العلامة (**) أن معامل الارتباط دال احصائياً عند مستوى (٠٠١).

تابع : جدول (٣)

مصفوفة العلاقات الارتباطية بين كل من سرعات الطرفين السفلي والعلوي للجسم وسرعة انطلاق الرمح

$n = 5$

x27	x26	x25	x24	x23	x22	x21	x20	x19	المصادر
0.639-	0.261-	0.425-	0.787-		0.576-	0.492-	0.777	0.260-	x23
0.971**	0.531	0.704		0.787-	0.829	0.880*	0.417-	0.719	x24
0.804	0.971**		0.704	0.425-	0.960**	0.552	0.198	0.931*	x25
0.654		0.971**	0.531	0.261-	0.904*	0.36	0.34	0.902*	x26
	0.654	0.804	0.971**	0.639-	0.881*	0.913*	0.187-	0.844	x27
0.061-	0.5	0.391	0.273-	0.519	0.124	0.099-	0.918*	0.318	x28
0.812	0.958*	0.979**	0.683	0.292-	0.939*	0.597	0.301	0.981**	x29
0.638	0.289	0.447	0.783	0.999*	0.592	0.478	0.761-	0.28	x30
0.625-	0.097-	0.224-	0.745-	0.663	0.483-	0.551-	0.714	0.358-	x31
0.859	0.890*	0.954*	0.827	0.656-	0.988**	0.584	0.160-	0.868	x32
0.504	0.439	0.541	0.615	0.909-	0.6	0.266	0.554-	0.271	x33
0.671-	0.113-	0.238-	0.735-	0.469	0.472-	0.666-	0.51	0.459-	x34
0.381	0.53	0.571	0.215	0.055	0.353	0.42	0.591	0.465	x35
0.132	0.428	0.366	0.106-	0.597	0.152	0.207	0.928*	0.461	x36
0.189-	0.234	0.179	0.340-	0.384	0.100-	0.141-	0.717	0.007	x37
0.053-	0.341	0.286	0.247-	0.462	0.011	0.067	0.837	0.195	x38
0.79	0.467	0.591	0.656	0.108-	0.557	0.898*	0.28	0.736	x39
0.008-	0.369	0.317	0.211-	0.47	0.047	0.655	0.855	0.248	x40
0.817	0.354	0.285	0.214-	0.63	0.045	0.109	0.942*	0.337	x41
0.632	0.511	0.54	0.464	0.179	0.527	0.672	0.458	0.791	x42
0.419-	0.346	0.115	0.498-	0.444	0.035	0.699-	0.475	0.076	x43
0.268-	0.037	0.130-	0.376-	0.692	0.114-	0.309-	0.48	0.138	x44

- تعني العلامة (*) أن معامل الارتباط دال إحصائياً عند مستوى (٥٠،٥).

- تعني العلامة (**) أن معامل الارتباط دال إحصائياً عند مستوى (١٠،١).

تابع : جدول (٣)

مصفوفة العلاقات الارتباطية بين كل من سرعات الطرفين السفلي والعلوي للجسم

وسرعة انطلاق الرمح

$n = 5$

x ₂₅	x ₂₆	x ₂₇	x ₂₈	x ₂₉	x ₃₀	x ₃₁	x ₃₂	x ₃₃	x ₃₄	المتغيرات
0.735	0.59	0.101*	0.069	0.663	0.045	0.102*	0.911*	0.661		x ₁
0.573	0.603	0.796	0.380*	0.496*	0.900*	0.572*	0.271*	0.673		x ₂
0.598*	0.207*	0.558	0.296	0.341*	0.312	0.247	0.628*	0.221*		x ₃
0.123*	0.07	0.051	0.669	0.732	0.119*	0.437	0.583	0.177		x ₄
0.545	0.489	0.248	0.191	0.608	0.27	0.073*	0.76	0.219		x ₅
0.366	0.264	0.03	0.558*	0.558*	0.236	0.429*	0.352*	0.075		x ₆
0.054*	0.148	0.616	0.475	0.282	0.426	0.126	0.176	0.407		x ₇
0.567*	0.223*	0.5	0.588	0.028	0.212	0.354	0.270*	0.102*		x ₈
0.729*	0.524*	0.497	0.067	0.631*	0.029	0.143	0.894*	0.597*		x ₉
0.013	0.261	0.748	0.436	0.181	0.57	0.065	0.096	0.488		x ₁₀
0.676*	0.155*	0.273	0.809	0.21	0.028*	0.637	0.169*	0.273*		x ₁₁
0.083	0.040*	0.138	0.249	0.486	0.051	0.024	0.49	0.324		x ₁₂
0.112*	0.204	0.761	0.484	0.106	0.553	0.132	0.032*	0.379		x ₁₃
0.727*	0.211*	0.223	0.802	0.188	0.081*	0.676	0.206*	0.342*		x ₁₄
0.092	0.004	0.351*	0.348	0.782	0.834*	0.282	0.726	0.131		x ₁₅
0.279	0.202	0.614*	0.249	0.84	0.537*	0.313	0.902*	0.11		x ₁₆
0.86	0.597	0.299	0.256*	0.311	0.458	0.472*	0.644	0.879*		x ₁₇
0.345*	0.068*	0.523*	0.149	0.063*	0.508*	0.447	0.218*	0.601*		x ₁₈
0.461	0.465	0.439*	0.271	0.868	0.358*	0.28	0.981**	0.318		x ₁₉
0.928*	0.591	0.51	0.554*	0.100*	0.714	0.761*	0.301	0.918*		x ₂₀
0.207	0.42	0.666*	0.266	0.584	0.551*	0.478	0.597	0.099*		x ₂₁
0.152	0.353	0.172*	0.6	0.988**	0.485*	0.592	0.939*	0.124		x ₂₂

- تعني العلامة (*) أن معامل الارتباط دال إحصائياً عند مستوى (٠.٠٥)

- تعني العلامة (**) أن معامل الارتباط دال إحصائياً عند مستوى (٠.٠١)

تابع : جدول (٣)

مصفوفة العلاقات الارتباطية بين كل من سرعات الطرفين السفلي والعلوي للجسم
وسرعة انطلاق الرمح

$\alpha = .5$

x ₂₆	x ₂₅	x ₂₄	x ₂₃	x ₂₂	x ₂₁	x ₂₀	x ₁₉	x ₁₈	المتغيرات
0.597	0.055	0.469	0.909*	0.656-	0.663	0.999*	0.292-	0.519	x ₂₃
0.106-	0.215	0.735-	0.615	0.827	0.745-	0.783	0.683	0.273-	x ₂₄
0.366	0.571	0.238-	0.541	0.954*	0.224-	0.447	0.979**	0.391	x ₂₅
0.428	0.53	0.113-	0.439	0.890*	0.097-	0.289	0.958*	0.5	x ₂₆
0.132	0.381	0.671-	0.504	0.859	0.625-	0.638	0.812	0.061-	x ₂₇
0.877	0.8	0.64	0.207-	0.113	0.771	0.493-	0.424	0.275	x ₂₈
0.483	0.57	0.302-	0.369-	0.903*	0.234-	0.311	0.311	0.424	x ₂₉
0.587-	0.043-	0.451-	0.923*	0.675	0.648-	0.311	0.314	0.495-	x ₃₀
0.534	0.476	0.952*	0.347-	0.451-	0.451-	0.648-	0.234-	0.771	x ₃₁
0.08	0.372	0.400-	0.71	0.55	0.451-	0.675	0.903*	0.113	x ₃₂
0.461-	0.135	0.116-	0.55	0.71	0.347-	0.923*	0.369-	0.207-	x ₃₃
0.286	0.359	0.55	0.116-	0.400-	0.952*	0.451-	0.307-	0.64	x ₃₄
0.762	0.5	0.359	0.133	0.372	0.476	0.083-	0.57	0.8	x ₃₅
0.5	0.762	0.286	0.461-	0.08	0.534	0.587-	0.483	0.877	x ₃₆
0.688	0.829	0.814	0.068-	0.056-	0.880*	0.367-	0.133	0.894*	x ₃₇
0.855	0.887*	0.668	0.191-	0.018	0.805	0.446-	0.308	0.954*	x ₃₈
0.613	0.646	0.440-	0.028-	0.49	0.228-	0.1	0.688	0.291	x ₃₉
0.889*	0.896*	0.617	0.215-	0.044	0.77	0.453-	0.351	0.957*	x ₄₀
0.986**	0.791	0.434	0.454-	0.009-	0.662	0.620-	0.383	0.920*	x ₄₁
0.681	0.399	0.504-	0.314-	0.405	0.250-	0.183-	0.696	0.313	x ₄₂
0.169	0.163-	0.399	0.162-	0.012	0.359	0.414-	0.119	0.403	x ₄₃
0.323	0.348-	0.146-	0.733-	0.244-	0.015	0.690-	0.027	0.133	x ₄₄

- تعني العلامة (*) أن معامل الارتباط ذات إحصائياً عند مستوى (٥٠، ١٥).

- تعني العلامة (**) أن معامل الارتباط ذات إحصائياً عند مستوى (١٠، ١).

تابع : جدول (٣)

مصفوفة العلاقات الارتباطية بين كل من سرعات الطرفين السفلي والعلوي للجسم

وسوعة انطلاق الرمح

$n = 5$

x ₁₁	x ₁₂	x ₁₃	x ₁₄	x ₁₅	x ₁₆	x ₁₇	x ₁₈	x ₁₉	المتغيرات
0.34	0.364	0.771	0.647	0.549	0.625	0.503	0.315	0.1	
0.182	0.069	0.123	0.693	0.797	0.046	0.823	0.873		x ₁
0.603	0.037	0.974**	0.457	0.185	0.741	0.113	0.155		x ₂
0.060	0.583	0.095	0.149	0.035	0.175	0.025	0.017		x ₃
0.254	0.682	0.35	0.514	0.527	0.137	0.513	0.137		x ₄
0.061	0.642	0.25	0.305	0.315	0.143	0.3	0.235		x ₅
0.147	0.69	0.476	0.019	0.223	0.505	0.266	0.409		x ₆
0.413	0.367	0.868	0.466	0.208	0.781	0.144	0.096		x ₇
0.418	0.334	0.837	0.626	0.488	0.658	0.436	0.225		x ₈
0.249	0.601	0.526	0.112	0.348	0.487	0.398	0.559		x ₉
0.678	0.037	0.806	0.593	0.303	0.575	0.247	0.014		x ₁₀
0.383	0.0874	0.032	0.048	0.048	0.257	0.048	0.34		x ₁₁
0.371	0.49	0.656	0.003	0.271	0.558	0.550	0.326		x ₁₂
0.676	0	0.816	0.648	0.369	0.586	0.311	0.075		x ₁₃
0.344	0.548	0.406	0.017	0.091	0.165	0.122	0.229*		x ₁₄
0.277	0.146	0.753	0.134	0	0.61	0.056	0.246		x ₁₅
0.469	0.587	0.578	0.83	0.747	0.37	0.719	0.524		x ₁₆
0.527	0.972**	0.037	0.364	0.352	0.262	0.361	0.359		x ₁₇
0.138	0.076	0.791	0.337	0.248	0.736	0.195	0.007		x ₁₈
0.48	0.475	0.458	0.942*	0.855	0.28	0.837	0.717		x ₁₉
0.309	0.699	0.672	0.109	0.055	0.898*	0.007	0.141		x ₂₀
0.114	0.035	0.527	0.045	0.047	0.557	0.011	0.100		x ₂₁

- تعني العلامة (*) أن معامل الارتباط دال احصائيا عند مستوى (٠٠٥) .

- تعني العلامة (**) أن معامل الارتباط دال احصائيا عند مستوى (٠٠١) .

تابع : جدول (٣)

مصفوفة العلاقات الارتباطية بين كل من سرعات الطرفين السفلي والعلوي للجسم
وسرعة انطلاق الرمح

$\alpha = \eta$

x44	x43	x42	x41	x40	x39	x38	x37	المفرد
0.692	0.444	0.179	0.63	0.47	0.108-	0.462	0.384	x23
0.376-	0.498-	0.464	0.214-	0.211-	0.656	0.247-	0.340-	x24
0.130-	0.115	0.54	0.285	0.317	0.591	0.286	0.179	x25
0.037	0.346	0.511	0.354	0.369	0.467	0.341	0.234	x26
0.268-	0.419-	0.632	0.017	0.008-	0.79	0.053-	0.189-	x27
0.133	0.403	0.313	0.920*	0.957*	0.291	0.954*	0.894*	x28
0.027	0.119	0.696	0.383	0.351	0.688	0.308	0.153	x29
0.690-	0.414-	0.183-	0.620-	0.455-	0.1	0.446-	0.367-	x30
0.015	0.359	0.250-	0.662	0.77	0.228-	0.805	0.880*	x31
0.244-	0.012	0.405	0.009-	0.044	0.49	0.018	0.056-	x32
0.733-	0.167-	0.314-	0.454-	0.215-	0.628-	0.191-	0.668-	x33
0.146-	0.399	0.504-	0.434	0.617	0.440-	0.668	0.814	x34
0.348-	0.163-	0.399	0.791	0.896*	0.646	0.887*	0.829	x35
0.323	0.169	0.681	0.986**	0.889*	0.613	0.855	0.658	x36
0.240-	0.142	0.010-	0.791	0.942*	0.158	0.964**	0.777-	x37
0.078-	0.14	0.253	0.921*	0.997**	0.361	0.000	0.964**	x38
0.060-	0.481-	0.868	0.521	0.417	0.000	0.361	0.158	x39
0.040-	0.151	0.323	0.944*	0.997**	0.417	0.997**	0.942*	x40
0.246	0.174	0.552	0.000	0.944*	0.521	0.921*	0.791	x41
0.433	0.097	0.000	0.552	0.323	0.868	0.253	0.010-	x42
0.613	0.097	0.174	0.131	0.481-	0.14	0.142	0.142	x43
0.613	0.433	0.246	0.040-	0.060-	0.078-	0.240-	0.240-	x44

- تعني العلامة (*) أن معامل الارتباط ذات دلالة إحصائية عند مستوى (٥٠،١٥).

- تعني العلامة (**) أن معامل الارتباط ذات دلالة إحصائية عند مستوى (١٠،٠١).

يتضح من جدول (٣) وجود ما يلى :

- ١ عدد معاملات الارتباط قد بلغت ألف وتسعمائة وستة وثلاثون ارتباط منهم عدد (٥٦٣) ارتباطاً طردياً بنسبة (٠,٩٩٩) إلى (٠,٩٦٠) بنسبة (٤٩٪).
- ٢ عدد (١٣٧٣) ارتباط عكسي منهم (٣) معاملات ارتباط دال عند مستوى (٠,٠١) من (٠,٩٧٢) إلى (٠,٩٩١) بنسبة (٢٢٪).
- ٣ عدد (٤١) معامل ارتباط طردي دال عند مستوى (٠,٠٥) من (٠,٨٧٩) إلى (٠,٩٥٨) بنسبة (٢٨٪، ٧٪) وكذلك عدد (٤) معامل ارتباط عكسي دال عند مستوى (٠,٠٥) من (٠,٨٩٤) إلى (٠,٩٤٣) بنسبة (٢٩٪).
- ٤ علاقة طردية بين سرعة اتجاه الرأس في الاتجاه الرأسي (١٠) وكل من سرعة الجذع في الاتجاه الأفقي (٥) وسرعة العضد الأيمن في الاتجاه السهمي (٩) وسرعة العضد الأيسر في الاتجاه الرأسي (٦) وسرعة الساعد الأيسر في الاتجاه الرأسي (١٩) وسرعة الفخذ الأيمن في الاتجاه الأفقي (٢٦) وسرعة الساق الأيمن في الاتجاه الأفقي (٢٩).
- ٥ علاقة طردية بين سرعة الرأس في الاتجاه الأفقي (٢٠) وكل من سرعة القدم اليمنى في الاتجاه الرأسي (٣١) وسرعة الساق الأيسر في الاتجاه الرأسي (٣٧) وسرعة الساق الأيسر في الاتجاه الأفقي (٣٨) وسرعة القدم اليسرى في الاتجاه الرأسي (٤٠).
- ٦ علاقة طردية بين سرعة الرأس في الاتجاه السهمي (٣) وكل من سرعة العضد الأيمن في الاتجاه السهمي (٩) وسرعة العضد الأيمن في الاتجاه الأفقي (٨) وسرعة الساعد الأيمن في الاتجاه الأفقي (١٥) وسرعة اليد اليمنى في الاتجاه الأفقي (١٤) وسرعة القدم اليسرى في الاتجاه السهمي (٤٢).

- ٧ علاقة طردية بين سرعة الجذع في الاتجاه الرأسى (٤٤) وكل من سرعة الجذع في الاتجاه السهمي (٦٦) وسرعة العضد الأيمن في الاتجاه الرأسى (٧٧) وسرعة الساعد الأيمن في الاتجاه السهمي (١٢) وسرعة اليد اليمنى في الاتجاه السهمي (١٥).
- ٨ علاقة طردية بين سرعة الجذع في الاتجاه الأفقي (٥٥) وسرعة الساق الأيمن في الاتجاه السهمي (٣٠) وسرعة العضد الأيسر في الاتجاه الأفقي (١٧) وسرعة الفخذ الأيمن في الاتجاه الأفقي (٢٦).
- ٩ علاقة طردية بين سرعة الجذع في الاتجاه السهمي (٦٦) وكل من سرعة الساق الأيمن في الاتجاه السهمي (٣٠) وسرعة اليد اليمنى في الاتجاه السهمي (١٥).
- ١٠ علاقة طردية بين سرعة العضد الأيمن في الاتجاه الرأسى (٧٧) وكل من سرعة العضد الأيمن في الاتجاه الأفقي (٨٨) وسرعة الساعد الأيمن في الاتجاه الرأسى (١٥) وسرعة اليد اليمنى في الاتجاه الرأسى (١٣).
- ١١ علاقة طردية بين سرعة العضد الأيمن في الاتجاه الأفقي (٨٨) وكل من سرعة الساق الأيمن في الاتجاه الرأسى (٢٨) وسرعة الساعد الأيمن في الاتجاه الأفقي (١١) وسرعة اليد اليمنى في الاتجاه الرأسى (١٣) وسرعة اليد اليمنى في الاتجاه الأفقي (١٤).
- ١٢ علاقة طردية بين سرعة العضد الأيمن في الاتجاه السهمي (٩٩) وكل من سرعة العضد الأيمن في الاتجاه الرأسى (١٦) وسرعة الساعد الأيسر في الاتجاه الرأسى (١٩) وسرعة الساق الأيمن في الاتجاه الأفقي (٢٩).
- ١٣ علاقة طردية بين كل من سرعة الساعد الأيمن في الاتجاه الرأسى (١٠) وسرعة اليد اليمنى في الاتجاه الرأسى (١٣).

- ٤-١٤ - علاقة طردية بين كل من سرعة الساعد الأيمن في الاتجاه الأفقي (١١١ \times) وسرعة اليد اليمنى في الاتجاه الأفقي (١٤ \times) .
- ٤-١٥ - علاقة طردية بين كل من سرعة الساعد الأيمن في الاتجاه السهمي (١١٢ \times) وسرعة انطلاق الرمح (٤٣ \times) وسرعة اليد اليمنى في الاتجاه السهمي (١٥ \times) وسرعة العضد الأيسر في الاتجاه السهمي (١٨ \times) .
- ٤-١٦ - علاقة طردية بين سرعة اليد اليمنى في الاتجاه الأفقي (٤٤ \times) وسرعة القدم اليسرى في الاتجاه السهمي (٤٢ \times) وسرعة القدم اليمنى في الاتجاه السهمي (٣٣ \times) .
- ٤-١٧ - علاقة طردية بين كل من سرعة القدم اليمنى في الاتجاه السهمي (١٥ \times) وسرعة العضد الأيسر في الاتجاه الرأسى (١٦ \times) وسرعة اليد اليسرى في الاتجاه الرأسى (٢٢ \times) .
- ٤-١٨ - علاقة طردية بين كل من سرعة العضد الأيسر في الاتجاه الرأسى (١٦ \times) وسرعة الساعد الأيسر في الاتجاه الرأسى (١٩ \times) وسرعة اليد اليسرى في الاتجاه الرأسى (٢٢ \times) وسرعة الفخذ الأيمن في الاتجاه الرأسى (٢٥ \times) وسرعة الساق الأيمن في الاتجاه الأفقي (٢٩ \times) .
- ٤-١٩ - علاقة طردية بين سرعة العضد الأيسر في الاتجاه الأفقي (١٧ \times) وكل من سرعة الساعد الأيسر في الاتجاه الأفقي (٢٠ \times) وسرعة الساق الأيمن في الاتجاه الرأسى (٢٨ \times) .
- ٤-٢٠ - علاقة طردية بين سرعة العضد الأيسر في الاتجاه السهمي (١٨ \times) وسرعة الاتجاه الرمح (٤٣ \times) .
- ٤-٢١ - علاقة طردية بين سرعة الساعد الأيسر في الاتجاه الرأسى (١٩ \times) وكل من سرعة اليد اليسرى في الاتجاه الرأسى (٢٢ \times) وسرعة الفخذ الأيمن في الاتجاه الرأسى

(٢٥×) وسرعة الفخذ الأيمن في الاتجاه الأفقي (٢٦×) وسرعة الفخذ الأيمن في الاتجاه السهمي (٢٧×) وسرعة الساق الأيمن في الاتجاه الأفقي (٢٩×) .

- ٢٢ - علاقة طردية بين سرعة الساعد الأيسر في الاتجاه الأفقي (٢٠×) وكل من سرعة الساق الأيسر في الاتجاه الرأسي (٢٨×) وسرعة الفخذ الأيسر في الاتجاه السهمي (٣٦×) وسرعة الساق الأيسر في الاتجاه الأفقي (٣٨×) وسرعة القدم اليسرى في الاتجاه الرأسي (٤٠×) وسرعة القدم اليسرى في الاتجاه الأفقي (٤١×) .

- ٢٣ - علاقة طردية بين سرعة الساعد الأيسر في الاتجاه السهمي (٢١×) وكل من سرعة اليد اليسرى في الاتجاه السهمي (٢٤×) وسرعة الفخذ الأيمن في الاتجاه السهمي (٢٧×) وسرعة الساق الأيسر في الاتجاه السهمي (٣٩×) .

- ٤ - علاقة طردية بين سرعة اليد اليسرى في الاتجاه الرأسي (٢٢×) وكل من سرعة اليد اليسرى في الاتجاه السهمي (٢٤×) وسرعة الفخذ الأيمن في الاتجاه الرأسي (٢٥×) وسرعة الفخذ الأيمن في الاتجاه الأفقي (٢٦×) وسرعة الفخذ الأيمن في الاتجاه السهمي (٢٧×) وسرعة الساق الأيمن في الاتجاه الأفقي (٢٩×) وسرعة القدم اليمنى في الاتجاه الأفقي (٣٢×) .

- ٢٥ - علاقة طردية بين سرعة اليد اليسرى في الاتجاه الأفقي (٢٣×) وكل من سرعة الساق الأيمن في الاتجاه السهمي (٣٠×) وسرعة القدم اليمنى في الاتجاه السهمي (٣٣×) .

- ٢٦ - علاقة طردية بين سرعة اليد اليسرى في الاتجاه السهمي ("٤") وكل من سرعة الفخذ الأيمن في الاتجاه السهمي (٢٧×) وسرعة الساق الأيمن في الاتجاه السهمي (٣٠×) وسرعة القدم اليمنى في الاتجاه الأفقي (٣٢×) .

- ٢٧ - علاقة طردية بين سرعة الفخذ الأيمن في الاتجاه الرأسى (٢٥×) وكل من سرعة الفخذ الأيمن في الاتجاه السهمي (٢٧×) وسرعة الساق الأيمن في الاتجاه السهمي (٣٠×) .
- ٢٨ - علاقة طردية بين سرعة الفخذ الأيمن في الاتجاه الأفقي (٢٦×) وكل من سرعة الساق الأيمن في الاتجاه الأفقي (٢٩×) وسرعة القدم اليمنى في الاتجاه الأفقي (٣٢×) .
- ٢٩ - علاقة طردية بين سرعة الساق الأيمن في الاتجاه الرأسى (٢٨×) وكل من سرعة الفخذ الأيسر في الاتجاه السهمي (٣٦×) وسرعة الساق الأيسر في الاتجاه الرأسى (٣٧×) وسرعة الساق الأيسر في الاتجاه الأفقي (٣٨×) وسرعة القدم اليسرى في الاتجاه الرأسى (٤٠×) وسرعة القدم اليسرى في الاتجاه الأفقي (٤١×) .
- ٣٠ - علاقة طردية بين سرعة الساق الأيمن في الاتجاه الأفقي (٢٩×) وسرعة القدم اليمنى في الاتجاه الأفقي (٣٢×) .
- ٣١ - علاقة طردية بين سرعة الساق الأيمن في الاتجاه السهمي (٣٠×) وسرعة القدم اليمنى في الاتجاه السهمي (٣٣×) .
- ٣٢ - علاقة طردية بين سرعة القدم اليمنى في الاتجاه الرأسى (٣١×) وسرعة الفخذ الأيسر في الاتجاه الرأسى (٣٤×) وسرعة الساق الأيسر في الاتجاه الرأسى (٣٧×) وسرعة الساق الأيسر في الاتجاه الأفقي (٣٨×) .
- ٣٣ - علاقة طردية بين سرعة الفخذ الأيسر في الاتجاه الأفقي (٣٥×) وكل من سرعة الساق الأيسر في الاتجاه الرأسى (٣٧×) وسرعة الساق الأيسر في الاتجاه الأفقي (٣٨×) وسرعة القدم اليسرى في الاتجاه الرأسى (٤٠×) .

- ٤٣ - علاقة طردية بين سرعة الساق الأيسر في الاتجاه الرأسى (٣٧X) وكل من سرعة الساق الأيسر في الاتجاه الأفقي (٣٨X) وسرعة القدم اليسرى في الاتجاه الرأسى (٤٠X).
- ٤٥ - علاقة طردية بين سرعة الساق الأيسر في الاتجاه الأفقي (٣٨X) وكل من سرعة القدم اليسرى في الاتجاه الرأسى (٤٠X) وسرعة القدم اليسرى في الاتجاه الأفقي (٤١X).
- ٤٦ - علاقة طردية بين سرعة القدم اليسرى في الاتجاه الرأسى (٤٠X) وسرعة القدم اليسرى في الاتجاه الأفقي (٤١X).
- ٤٧ - علاقة عكssية بين سرعة الرأس في الاتجاه السهمي (٣X) وسرعة القدم اليسرى في الاتجاه السهمي (٤٢X).
- ٤٨ - علاقة عكسية بين سرعة الجذع في الاتجاه الرأسى (٤X) وسرعة الجذع في الاتجاه السهمي (٦X).
- ٤٩ - علاقة عكسية بين سرعة العضد الأيمن في الاتجاه السهمي (٩X) وسرعة الساق الأيمن في الاتجاه الأفقي (٢٩X).
- ٤٠ - علاقة عكسية بين سرعة اليد اليمنى في الاتجاه السهمي (١٥X) وسرعة القدم اليمنى في الاتجاه الرأسى (٣١X).
- ٤١ - علاقة عكسية بين سرعة العضد الأيسر في الاتجاه السهمي (١٨X) وسرعة انطلاق الرمح (٤٣X).
- ٤٢ - علاقة عكسية بين سرعة اليد اليسرى في الاتجاه الأفقي (٢٣X) وسرعة القدم اليمنى في الاتجاه السهمي (٣٣X).

جدول (٤)

الخطوة النهائية للتحليل المنطقي لأنحدار كل من سرعات الطرف العلوي

لحظة انطلاق الرمح (مرحلة التسليم) على المستوى الرقمي لرمي الرمح لأفراد عينة الدراسة

$n = 5$

نسبة المساهمة %	قيمة (ت) المحسوبة	درجات الحرية	الخطأ المعياري	معامل الانحدار الجزئي	المتغيرات
٢٨,٨	٠٠	٤	٠٠	٢٨,٠٥٩	المقدار الثابت
	٠٠		٠٠	٠,٩٢٣ -	$\times ١$
	٠٠		٠٠	٠,٢٨٧	$\times ٢$
	٠٠		٠٠	٠,١٠٤ -	$\times ٣$
٦١,٢	٠٠		٠٠	٠,٦١٥ -	$\times ٦$
المجموع					
١٠٠					

يوضح الجدول (٤) أن أكثر سرعات الطرف العلوي للجسم لحظة رمي الرمح (مرحلة التسليم) مساهمة في المستوى الرقمي لرمي الرمح هي سرعة الجذع في اتجاه المركبة السهمية ($\times ٦$)، حيث ساهمت فيه بنسبة (%) ٦١,٢ ، يليها سرعة الرأس في اتجاه المركبات الرأسية ($\times ١$) ، الأفقية ($\times ٢$) ، السهمية ($\times ٣$) ، حيث ساهمت في المستوى الرقمي لرمي الرمح معاً بنسبة (%) ٣٨,٣ ، والجدير بالذكر أن هذه السرعات ساهمت مجتمعة في المستوى الرقمي لرمي الرمح بنسبة (%) ١٠٠ .

وبذلك تصبح المعادلة التنبؤية للتنبؤ بالمستوى الرقمي لرمي الرمح بدالة سرعات الطرف العلوي للجسم المساهمة فيه كما يلى :

$$\text{المستوى الرقمي لرمي الرمح} =$$

$$(٢٨,٠٥٩ - ٠,٩٢٣ - ٠,٢٨٧ + ٠,١٠٤ - ٠,٦١٥) \times ٦ + (٠,٩٢٣ - ٠,٢٨٧ + ٠,١٠٤ - ٠,٦١٥) \times ٣ + (٢٨,٠٥٩ - ٠,٩٢٣ - ٠,٢٨٧ + ٠,١٠٤ - ٠,٦١٥) \times ١$$

جدول (٥)

الخطوة النهائية للتحليل المنطقي لأنحدار كل من سرعات الطرف العلوي والطرف السفلي للجسم وسرعة انطلاق الرمح خلال انطلاقه (مرحلة التسليم) في المستوى الرقمي لرمي الرمح لأفراد عينة الدراسة

$n = 5$

نسبة المساهمة %	قيمة (ت) المحسوبة	درجات الحرية	الخطوة المعياري	معامل الانحدار المجزئي	المتغيرات
٩٦,٢	٠٠	٤	٠٠	١٣٩,٥٤٤	المقدار الثابت
	٠٠		٠٠	٠,٣٦٣	$\times ٢٧$
	٠٠		٠٠	١,٢٠٢	$\times ٢٦$
	٠٠		٠٠	٣,٨٣ -	$\times ٢٥$
٣,٨	٠٠		٠٠	٠,٣٨٥	$\times ٢٨$
المجموع					
١٠٠					

يبين الجدول (٥) أن أكثر سرعات كل من سرعات الطرف العلوي والطرف السفلي للجسم وسرعة انطلاق الرمح خلال لحظة انطلاقه (مرحلة التسليم) في المستوى الرقمي لرمي الرمح لأفراد عينة الدراسة ، هي سرعة الفخذ الأيمن في اتجاه كل من المركبات السهمية ($\times ٢٧$) ، والأفقية ($\times ٢٦$) ، وأن أكثر سرعات كل من سرعات الطرف العلوي والطرف السفلي للجسم وسرعة انطلاق الرمح خلال لحظة انطلاقه (مرحلة التسليم) في المستوى الرقمي لرمي الرمح لأفراد عينة الدراسة ، هي سرعة الفخذ الأيمن في اتجاه كل من المركبات السهمية ($\times ٢٧$) ، والأفقية ($\times ٢٦$) ، والرأسيّة ($\times ٢٥$) حيث ساهمت فيه بنسبة (٩٦,٢%) بيلها سرعة الساق الأيمن اتجاه المركبة الرأسية ($\times ٢٨$) ، حيث ساهمت في المستوى الرقمي لرمي الرمح بنسبة (١٠٠%) ، وبذلك تصبح المعادلة التبؤية للتسليم بالمستوى الرقمي لرمي الرمح

بدلالة سرعات الطرف العلوي والطرف السفلي للجسم وسرعة انطلاق الرمح خلال لحظة انطلاقه (مرحلة التسلیم) المساهمة فيه كما يلى :-

$$\text{المستوى الرقمي لرمي الرمح} = \\ 0,362 + 139,544 + 0,363 - 1,202 + 0,27 \times 26 - 3,83 \times 25 + 1,285 \times 28.$$

- ثانياً : مناقشة النتائج :

أظهرت نتائج مصفوفة الارتباط بين كل من سرعات الطرفين السفلي والعلوي للجسم وسرعة انطلاق الرمح لحظة الانطلاق عن وجود ما يلى :

١ - علاقة طردية بين سرعة الرأس في الاتجاه الرأسى وسرعة كل من الجذع في الاتجاه الأفقي وسرعة العضد الأيمن في الاتجاه السهمي وسرعة العضد الأيسر في الاتجاه الرأسى وسرعة الفخذ الأيمن في الاتجاه الأفقي وسرعة الساق الأيمن في الاتجاه الأفقي ، ومعنى ذلك أنه كلما زادت سرعة الرأس في الاتجاه الرأسى زادت سرعة كل من الجذع في الاتجاه الأفقي ، العضد الأيمن في الاتجاه السهمي والعضد الأيسر في الاتجاه الرأسى والفخذ الأيمن في الاتجاه الأفقي والساق الأيمن في الاتجاه الأفقي .

٢ - علاقة طردية بين سرعة العضد الأيمن في الاتجاه الرأسى ، وكل من سرعات العضد الأيمن في الاتجاه الأفقي ، والساعد الأيمن في الاتجاه الرأسى واليد اليمنى في الاتجاه الرأسى ومعنى ذلك أنه كلما زادت سرعة العضد الأيمن في الاتجاه الرأسى زادت سرعات كل من العضد الأيمن في الاتجاه الأفقي ، والساعد الأيمن في الاتجاه الرأسى واليد اليمنى في الاتجاه الرأسى

٣- علاقة طردية بين سرعة الجذع وكل من سرعات الساعد والأيمن والعضد الأيسر ، والفخذ الأيمن في الاتجاه الرأسى ، ومعنى ذلك أنه كلما زادت سرعة الجذع زادت سرعات كل من الساعد الأيمن ، والعضد الأيسر ، الفخذ الأيمن في الاتجاه الرأسى .

٤- علاقة طردية بين سرعة الساعد الأيمن في الاتجاه الرأسى وسرعة اليد اليمنى في الاتجاه الرأسى ، ومعنى ذلك أنه كلما زادت سرعة الساعد الأيمن في الاتجاه الرأسى زادت سرعة اليد اليمنى في الاتجاه الرأسى .

ويفسر الباحث هذه النتائج في ضوء أن الطرفين السفلى والعلوى يمثلان سلسلة حركة كينماتيكية بدأيتها اتصال القدمين بالأرض (الطرف السفلى) وهمايتها اليدين الرامية للرمي لحظة انطلاقه مروراً بكل من الجذع والرأس والساعدين والعضدين (الطرف العلوى) وفقاً للمبدأ البيوميكانيكي التوافق الزمني للدفع الفردية ، نجد أن نهاية طرف السلسلة الكينماتيكية لرمي الرمح (اليد الرامية) تكتسب سرعة كبيرة لتتمكن من رمي الرمح ، ويعنى ذلك أن الرمح سوف يصل إلى سرعته القصوى إذا وصلت سرعات الطرف السفلى والطرف العلوى بما فيها سرعة الرمح إلى نهايتها القصوى في لحظة واحدة .

وتتفق هذه النتائج مع ما أشار إليه كل من جون سورثيس وآخرون Jon Northips et all (١٩٨٥م) وجريجانتا وآخرون Garganta et all (١٩٩٨م) وبسطويسى أحمد (١٩٩٦م) وجمال علاء الدين (٢٠٠٠م) أن الخصائص الكينماتيكية تتيح إمكانية التعرف على دراسة العلاقات والمقارنات لأبعاد الجسم ووصلاته والتآثر الحركى بين المجموعات العضلية .

كما تتفق هذه النتائج أيضاً مع بسطويسى أحمد (١٩٩٧م) على أن أسلوب رمى الرمح يتضمن حركات دائيرية قوية في منطقة الكتف والخوض والمطقة الصدرية مع مرحلة الدراج الأيمن في المستوى الأفقي وذلك لإحداث شد للمجموعات العضلية الكبيرة المؤدية

للحركة ، كما أن اللاعب يحدث له دوران جانبي أيمن طبقاً ليد الرامي ودوران عرضي للذراع اليسرى كل هذا له تأثير فعال مع حركة الرأس والجذع والساقيين مما يؤدي إلى زيادة عزم الدوران ودفع قوة الحركة للرمي . (٤٩٩ : ٢)

من خلال ما سبق تتضح العلاقة الطردية بين أجزاء الطرف العلوي للجسم (السرعة الرأسية والأفقية للجذع والفخذين والذراعين) حيث تمثل هذه العضلات عوامل جوهرية في تحقيق سرعة انطلاق عالية تستفيد منها الذراع الرامية ، وكذلك وجود علاقة بين السرعة الأفقية لليد اليمنى ومحللة سرعة اليد اليمنى والسرعة الأفقية لليد اليسرى في الاتجاه العكسي نتيجة حركة بعيد السريع للذراع الأيمن والكتف ودوران عرضي للرأس في الجهة اليمنى يؤدي إلى مرجحة الذراع اليمنى سريعاً للخلف والذراع اليسرى عكسها للاستفادة القصوى من هذه الدورانات في مرحلة الاقتراب والتخلص من الرمي .

وبذلك يتحقق صدق الفرض الأول للبحث والذي ينص على :

" توجد علاقات طردية بين كل من سرعات الطرفين السفلي والعلوي للجسم وسرعة انطلاق الرمي لحظة انطلاق (مرحلة التسليم) لأفراد عينة البحث "

كما يتضح من نتائج التحليل المنطقي للانحدار جدول (٤) أن أكثر الأجزاء في الطرف العلوي مساعدة في المستوى الرقمي للرمي هي سرعة الجذع في اتجاه المركبة السهمية (٦٠٪) ، وسرعة الرأس في الاتجاه الرأسي (١٠٪) ، وسرعة الرأس في الاتجاه الأفقي (٢٪) ، وسرعة الرأس في الاتجاه السهمي (٣٪) .

ويفسر الباحث هذه النتيجة في ضوء أن للرأس دور قيادي في قيادة الجسم خلال التحرك سواء في الحركة الانتقالية أو الحركة الانتقالية الدورانية فالرأس هي العامل الموجه للمسار الهندسي للجسم خلال تحركه خلال مرحلة الاقتراب من رمي الرمي .

ويرى الباحث أن تحريك الرأس متبع بتحريك مركز النقل في مراحل الاقراب لإحداث شد في الجموعات العضلية المذدية ، حيث تعبير الرأس في جميع المراحل نقطة تجميل لعزم القوة والتأثير الفعال للرأس والجذع لعزم الدوران والعزم المضاد يمثل قوة إضافية لعملية امتداد الذراع الحاملة للرمي خلفاً .

وهذا يتفق مع جون وريفرز John A.Recves (١٩٩١م) ، بسطويسي أحمد (١٩٩٧م) أن طول الخطوة الأخيرة تعمل على زيادة مرجحة الذراع الرامية وكذلك دفع قدم الرجل المقابلة للذراع الرامية للأرض تنتقل محصلة السرعة وقوة الدفع إلى الجذع ثم الذراع لتصل إلى اليد التي تترك الرمح وبالتالي إعطاء قوة إضافية لعملية الرمي .

وبذلك يتحقق الفرض الثاني حيث اختلفت نسبة مساهمة الطرف العلوي (٣٨,٨٪) والطرف السفلي بنسبة (٦١,٢٪) ، وكانت معادلة التباين بالمستوى الرقمي هي :

$$\text{المستوى الرقمي لرمي الرمح} =$$

$$28,059 + 28,023 + 28,040 - 28,020 - 28,040 + 28,059$$

كما أظهرت نتائج التحليل المطفي للانحدار جدول (٥) أن أكثر سرعات الطرفين السفلي والعلوي مساهمة في رمي الرمح وهي «سرعة الفخذ الأيمن في اتجاه كبل من المركبة السهمية (٢٧٪) والأفقية (٢٦٪) والرأسمية (٢٥٪) حيث ساهمت بنسبة (٩٦,٢٪) باليها سرعة الساق الأيمن في اتجاه المركبة الرأسية (٢٨٪) حيث ساهمت بنسبة (٣,٨٪) .

وهذا يتفق مع جون نورثبيس وآخرون John Northips et all (١٩٨٥م) بأن النقل في حركات منفصلة للوحظ والمركبة تحدث بشكل واضح خلال مراحل الأداء وكذلك سرعة حركة الماءدين ومساهمتها في احتفاظه على الاتزان وزيادة عزم القصور الذاتي في منطقة الجذع يؤدي إلى حدوث دوران كبير كلما زادت حركة بعيد السرعة للكتف الأيمن يساعد

على إحداث دوران عرضي للجهة اليمنى للمسطقة الصدرية للجذع وبالتالي مرجحة الذراع للخلف ثم تعریکه للأمام حيث يتم الحصول على الاستفادة الكاملة من هذا الدوران في عملية الرمي .

من خلال ما سبق توضح العلاقات الطردية بين سرعة الفخذ والساقي في نسبة مساهمتهما في رمي الرمح ويوضح ذلك من معادلة التسقير الآتية بدلالة سرعات الطرف العلوي والسفلي للجسم وسرعة انطلاق الرمح

$$\text{المستوى الرقمي للرمي} = \frac{139,544 + 1,363 \times 27 + 1,202 \times 26 - 3,825 \times 25}{3,825 \times 28}$$

من خلال عرض النتائج السابقة بجدول (٤ ، ٥) يتضح التسلسل المنطقي للأجزاء المساهمة ابتداء من سرعة الرأس والجذع والفخذ والساقي كل هذه الأجزاء تشارك مع بعضها لتحقيق التوازن الديناميكي حتى يتسنى لللاعب أداء المحاولة بسلاسة .

- الاستنتاجات

في ضوء أهداف وفرضيات وأدوات ونتائج البحث استنتج الباحث ما يلى :

- ١ - تتناسب سرعة الرأس في اتجاه المركبة الرئيسية تناصاً طردياً مع سرعات كل من الجذع في الاتجاه الأفقي ، العضد الأيمن في الاتجاه السهمي ، العضد الأيسر في الاتجاه الرأسي ، الفخذ الأيمن في الاتجاه الأفقي ، والساقي الأيمن في الاتجاه الأفقي .
- ٢ - تتناسب سرعة العضد الأيمن في الاتجاه الرأسي تناصاً طردياً مع سرعات كل من العضد الأيمن في الاتجاه الأفقي ، والساعد الأيمن في الاتجاه الرأسي ، واليد اليمنى في الاتجاه الرأسي .

- ٣- تتناسب سرعة الجذع في الاتجاه الرأسى تNASA طردياً بين سرعات كل من الجذع في اتجاه المركبة الأفقية والسموية والساعد الأيمن والقصد الأيسر والقصد الأيمن في الاتجاه الرأسى .
- ٤- تتناسب سرعة الساعد الأيمن في الاتجاه الرأسى تNASA طردياً مع سرعة اليد اليمنى في الاتجاه الرأسى .
- ٥- أكثر سرعات أجزاء الطرف العلوي لحظة رمي الرمح (مرحلة التسليم) مساهمة في المستوى الرقمي لرمي الرمح على الترتيب التالى كالتالى .
- .. سرعة الجذع في اتجاه المركبة السموية بنسبة (%) ٦١,٢ .
- سرعة الرأس في اتجاه المركبات الرأسية والأفقية والسموية بنسبة (%) ٣٨,٣ .
- ٦- المعادلة التنبؤية للتبؤ بالمستوى الرقمي لرمي الرمح بدلالة المتغيرات الكباتيكية للطرف العلوي المؤثرة فيه هي :
- $$\text{المستوى الرقمي للرمي} = ٠,٦١٥ + ٠,٢٨٧ + ٠,٩٢٣ + ٠,٢٨٠ (١) + ٠,١٠٤ - ٠,٢٣ (٢) - ٠,٦١٥ (٣)$$
- ٧- أكثر سرعات أجزاء كل من الطرفين السفلي والعلوي للجسم وسرعة انطلاق الرمح خلال لحظة انطلاقه (مرحلة التسليم) في المستوى الرقمي لرمي الرمح هي على التوالى تالياً :
- سرعة الفخذ الأيمن في اتجاه كل من المركبات السموية (%) ٢٧ والأفقية (%) ٢٦ ، والرأسية (%) ٢٥ بنسبة (%) ٩٦,٢ .
- سرعة الساق الأيمن في اتجاه المركبة الرأسية (%) ٢٨ بنسبة (%) ٣,٨ .

ـ ٨ـ المعادلة التبؤية للتبيؤ بالمستوى الرقمي لرمي الرمح بدلالة سرعات كل من الطرفين السفلي والعلوي للجسم وسرعة انطلاق الرمح لحظة انطلاقه (مرحلة التسليم)
المساهمة فيه هي :-

$$\text{المستوى الرقمي للرمي} = \frac{(1,202 + 0,363 + 1,39,544)}{(0,385 + 0,27)} \times 26 - 1,83 \times 25 + 0,28 \times 28$$

- التوصيات

في حدود نتائج البحث واستنتاجاته يوصى الباحث بما يلى :-

- ١ـ الاهتمام بضرورة التركيز على زيادة سرعة الجذع في اتجاه المركبة السهمية .
- ٢ـ الاهتمام بضرورة التركيز على زيادة سرعة الرأس في اتجاه المركبات الرأسية والأفقية والسموية .
- ٣ـ زيادة سرعة الفخذ الأيمن في اتجاه كل من المركبات السهمية والأفقية والرأسية .
- ٤ـ زيادة سرعة الساق الأيمن في اتجاه المركبة الرأسية .
- ٥ـ استخدام المعادلات التبؤية التي توصل لها الباحث للتبيؤ بالمستوى الرقمي لرمي بدلالة المتغيرات الكينماتيكية لكل من الطرف العلوي والطرف السفلي المؤثرة فيه .
- ٦ـ تنمية القوة المميزة بالسرعة لعضلات كل من الطرفين العلوي والسفلي للجسم .

- المراجع

- أولاً : المراجع العربية

- ١ - بسطوسيي أحمد بسطوسي : (١٩٩٦م) أسس ونظريات الحركة ، ط١ ، دار الفكر العربي القاهرة .
- ٢ - بسطوسيي أحمد بسطوسي : (١٩٩٧م) سباقات المضمار ومسابقات الميدان تعليم - تكثيف - تدريب ، ط١ ، دار الفكر العربي ، القاهرة .
- ٣ - جمال علاء الدين : (٢٠٠٠م) الخصائص والمؤشرات البيوميكانيكية لجسم الإنسان وحركته ، مجلة علمية ، بحث مقبول للنشر ، مجاز للترقية ، مجل دراسات وبحوث كلية التربية الرياضية للبنين بالإسكندرية ، جامعة الإسكندرية ، العدد ١٧ .
- ٤ - عادل إبراهيم عمر : (٢٠٠١م) مساعدة سرعة الطرف العلوي في سرعة الطرف السفلي بالجسم خلال مراحل أداء ركل الكرة من الثبات ، المجلة العلمية للتربية البدنية والرياضة ، كلية التربية الرياضية للبنين بالهرم ، جامعة حلوان ، العدد ٣٨ .
- ٥ - عادل عبد البصیر على : (١٩٩٨م) الميكانيكا الحيوية ، التكامل بين النظرية والتطبيق في المجال الرياضي ، ط١ ، مركز

الكتاب للنشر ، القاهرة

- ٦- عبد الجبار شبين : (٢٠٠٥م) تحليل العلاقة بين بعض المتغيرات الكيتماتيكية ومسافة الانجاز في فعالية رمي الرمح ، مجلة علوم التربية الرياضية ، جامعة بابل ، المجلد الرابع ، العدد الثاني .
- ٧- عبد الرحمن عبد الرحمن زاهر : (٢٠٠١م) موسوعة فسيولوجيا مسابقات الرمي ، ط١ ، مركز الكتاب للنشر ، القاهرة .
- ٨- علي جواد عيد : (٢٠٠٥م) دراسة مقارنة لبعض المتغيرات الكيتماتيكية المميزة لأداء لاعبي رمي الرمح ، مجلة علوم التربية الرياضية ، جامعة بابل ، المجلد الثاني ، العدد الرابع .
- ٩- عويس الجبالي : (١٩٨٩م) ألعاب القوى – النظرية والتطبيق ، المكتب الاشتراكي للنشر ، القاهرة .
- ١٠- محمود أبو العينين : (١٩٩٨م) التحليل الكيتماتيكي لمهارة ضرب الكرة بالرأس من الثبات ، المجلة العلمية للتربية البدنية والرياضة ، كلية التربية الرياضية للبنين بالهرم ، جامعة حلوان ، العدد الأول
- ثانياً : المراجع الأجنبية
- ١١ Garganta, J,
Maio,J : (1998) Analysis of goal scoring
patterns of Euro peen top level soccer

teams, science and football ,E.F.N
sport, U.S.A

- ١٢ Gunter Tiadow : (1996) Model Technique analysis part x. The Javelin Throw , quar , Mag VOL :11 , no : 1
- ١٣ John A. Recves J. Mateolm siman : (1991) select soccer drills L. ensure press Champaign . U.S.A
- ١٤ John W.chow, Annf. Kuenster and young tote Lim : (2003) Kinematics Analysis of Javelin Throw performed by wheelchair Athletes of different functional classes, Journal of sports science and Medicine . 2 ,36-46.
- ١٥ John,w,Nor Thips. Gene, A, logon, Wayn , G mekinny : (1985) Analysis of sports motion anatomic and biomechanie perspectives, 3 and ed, w.n.c Brown. co publishers all.
- ١٦ Jones M : (1992) Athletics Coach . volume 20 nol
- ١٧ www.brianmac.co.uk/